

LA ARQUITECTURA DE KUNTUR WASI: SECUENCIA CONSTRUCTIVA Y CRONOLOGÍA DE UN CENTRO CEREMONIAL DEL PERIODO FORMATIVO

Kinya Inokuchi^a

Resumen

Las excavaciones en el sitio arqueológico de Kuntur Wasi, realizadas desde 1988 hasta 2002 por parte de la Misión Arqueológica Japonesa, han podido esclarecer en detalle la secuencia arquitectónica de un centro ceremonial en la sierra norte del Perú durante el Periodo Formativo y han establecido nueve subfases constructivas. Según los análisis, al inicio de la fase Kuntur Wasi se estableció el Principio Constructivo Básico del Templo, compuesto por tres elementos arquitectónicos; este principio se mantuvo vigente hasta la segunda subfase constructiva de la fase Copa. Por último, en la fase Sotera, Kuntur Wasi dejó de funcionar como un centro ceremonial. Los resultados del estudio de la secuencia constructiva de este complejo ofrecen un punto de referencia desde el que es posible discutir el proceso social del Periodo Formativo en los Andes centrales en un contexto más amplio.

Palabras clave: Kuntur Wasi, Periodo Formativo, cronología, secuencia arquitectónica

Abstract

THE ARCHITECTURE OF KUNTUR WASI: CONSTRUCTION SEQUENCE AND CHRONOLOGY OF A CEREMONIAL CENTER OF THE FORMATIVE PERIOD

The excavations in the archaeological site of Kuntur Wasi, carried out from 1988 to 2002 by the Japanese Archaeological Mission, have clarified, in detail, the architectural sequence of this ceremonial center in the northern highlands of Perú during the Formative Period. The authors have established nine architectural sub-phases at the site. According to our analyses, at the beginning of the Kuntur Wasi phase, the «basic construction principle» of the temple was established. This is composed of three architectural elements, which were maintained until the second sub-phase of the Copa phase. However, in the last sub-phase of the Copa phase the importance of the «basic construction principle» was lost. During the Sotera phase, Kuntur Wasi no longer functioned as a ceremonial center. The results of our analysis of the architectural sequence at Kuntur Wasi offer a point of reference for discussing social processes of the Formative Period in the Central Andes within a broader context.

Keywords: Kuntur Wasi, Formative Period, chronology, architectural sequence

1. Introducción

El sitio de Kuntur Wasi, correspondiente al Periodo Formativo, se encuentra en el centro poblado menor de Kuntur Wasi, provincia de San Pablo, departamento de Cajamarca, a 2300 metros sobre el nivel del mar, en la vertiente occidental de las elevaciones de la sierra norte del Perú (Fig. 1). Es conocido entre los arqueólogos desde hace más de 60 años, debido a investigaciones anteriores a las del proyecto de la Misión Arqueológica Japonesa.

^a Saitama University, Faculty of Liberal Arts.
Dirección postal: Shimo-okubo 255, Sakura-ku, Saitama-shi, Saitama-ken, 338-8570, Japón.
Correo electrónico: inokuchi@mail.saitama-u.ac.jp

En 1946, Julio C. Tello recibió la noticia de la existencia de unos monolitos de piedra en el área de San Pablo y decidió enviar a un equipo de arqueólogos peruanos del Museo Nacional de Antropología y Arqueología de Lima, quienes se encargaron de realizar excavaciones durante seis meses en la colina de Kuntur Wasi. Rebeca Carrión Cachot presentó los resultados de estas investigaciones en un artículo (Carrión Cachot 1948), en el que describió los monolitos, la alfarería y las tumbas encontradas. Entre 1982 y 1983, el proyecto arqueológico del valle de Jequetepeque dirigido por Michael Tellenbach realizó un levantamiento taquimétrico en este sitio y publicó el plano topográfico (Ulbert y Eibl 1985).

En 1988, la Misión Arqueológica Japonesa, dirigida por Yoshio Onuki y Yasutake Kato, inició excavaciones intensivas y sistemáticas en el complejo. El proyecto realizó investigaciones hasta 2002, durante un total de 12 temporadas. Por otra parte, en 2000, la UNESCO inició un programa para la conservación y restauración del sitio, que finalizó en 2003.

La Misión Arqueológica Japonesa ha presentado los resultados de las investigaciones de la primera etapa del proyecto (1988-1990), los que incluyen descripciones y análisis preliminares de ocho tumbas asociadas con objetos de oro y otras piezas elaboradas encontradas durante las excavaciones (Kato 1994; Onuki, Kato e Inokuchi 1995; Onuki 1997), así como la cronología del sitio basada en el análisis tipológico de la cerámica (Inokuchi 1998). En este artículo se presentan los resultados del análisis de la secuencia constructiva basada en los datos arquitectónicos obtenidos en la integridad de las temporadas del proyecto y su relación con la cronología. Este trabajo constituye la primera publicación que expone modelos tridimensionales de la arquitectura del complejo de Kuntur Wasi para la explicación del desarrollo del estudio.

2. La cronología y la cerámica de Kuntur Wasi

En las primeras temporadas de investigación en Kuntur Wasi se establecieron cuatro fases básicas del sitio sobre la base de los datos de la cerámica. El rango temporal de cada fase se basa en los fechados calibrados de los materiales orgánicos correspondientes a las estructuras o a otros materiales pertenecientes a cada fase (Tsurumi, Yoshida y Yoneda 2007). De esta manera, se definió la secuencia siguiente: en primer lugar está la fase Ídolo ([abreviatura: ID] 950 a.C.-800 a.C.), a la que siguen las fases Kuntur Wasi (KW; 800 a.C.-550 a.C.), Copa (CP; 550 a.C.-250 a.C.) y, por último, Sotera (ST; 250 a.C.-50 a.C.) (Tablas 1-3). Si se consideran el contexto y los estados de las muestras del material, los rangos temporales de la fase Ídolo y de la fase Kuntur Wasi son bastante seguros; en cambio, es difícil determinar el inicio y el fin de la fase Sotera por el momento. El análisis tipológico de la cerámica de Kuntur Wasi muestra complejos cerámicos particulares que permiten distinguir las fases de los estratos registrados en este lugar. Se establecieron 61 tipos de cerámica:¹ 16 tipos de la fase Ídolo, 25 tipos de la fase Kuntur Wasi —de las que ocho pertenecen al complejo Sangal—,² 14 tipos de la fase Copa y seis de la fase Sotera (Figs. 2, 3).

De manera muy breve, se pueden resumir las características de la cerámica de cada fase del siguiente modo: la alfarería de la fase Ídolo tiene carácter regional, es decir, es común a algunos sitios de la sierra norte; la de la fase Kuntur Wasi, cuyas características no se observan en la mayoría de la cerámica precedente, muestra mucha variedad y es muy posible que fuera llevada desde la costa (Inokuchi 1998: 176); la del complejo Sangal (SG), que pertenece a la fase Kuntur Wasi, tiene nuevas características regionales o locales; la cerámica de la fase Copa, que también tiene carácter local, se produjo en grandes cantidades, mientras que la de la fase Sotera tiene mucha similitud con la cerámica de la parte final del Periodo Formativo en la cuenca de Cajamarca, desde donde fue introducida.

3. Metodología

Yasutake Kato presentó la secuencia del conjunto arquitectónico de Kuntur Wasi sobre la base de los resultados de las investigaciones de las temporadas 1988, 1989 y 1990 (Kato 1994; Onuki, Kato e Inokuchi 1995). Los datos arquitectónicos obtenidos en las excavaciones desde 1993 hasta 2002 han permitido esclarecer la secuencia arquitectónica con más detalle. Las excavaciones se concentraron en la cima del cerro, que se ha denominado Plataforma Principal, y en la terraza en el lado noreste, o Primera Terraza (Fig. 22). En total, el área excavada en la Plataforma Principal y la Primera Terraza comprende 11.239 metros cuadrados, es decir, aproximadamente 43,2% de la superficie completa (26.019 metros cuadrados) de dichas

Tabla 1. Fechado de los materiales orgánicos y óseos humanos recuperados en las excavaciones en Kuntur Wasi (fases Ídolo y Kuntur Wasi). El fechado calibrado fue calculado con el programa OxCal v4.0.1; curva de calibración: SHCa104. * indica material óseo humano (según Tsurumi, Yoshida y Yoneda 2007: tablas 3-1, 3-2).

N.º de muestra	N.º de laboratorio	Fechado a.p.	Fechado calibrado	Probabilidad: 1 σ	Sector y estrato	Fase estratigráfica
7KW-A-C38	Tka-12735	2820 \pm 40	973-957 a.C. (calib.)	8,6%	A7O11	ID-1
			939-840 a.C. (calib.)	59,6%	12a	
			895-866 a.C. (calib.)	25,3%	C9O5	
7KW-C-C16	Tka-12727	2755 \pm 40	857-811 a.C. (calib.)	42,9%	14a, dentro de fogón	ID-2
7KW-C-C8	Tka-12726	2655 \pm 45	826-756 a.C. (calib.)	60,8%	C-Plaza 7C-St1	ID-2
			684-669 a.C. (calib.)	7,4%	encima de 11a	
90K-A-C13	TK-907A	2600 \pm 80	803-725 a.C. (calib.)	23,8%	A1O5 LH	ID-2
			694-541 a.C. (calib.)	44,4%	encima de piso ID	
7KW-A-C30	Tka-11789	2830 \pm 110	1056-808 a.C. (calib.)	68,2%	A7O11 10a	¿ID-2?
90K-A-C15	TK-906	2860 \pm 60	1044-895 a.C. (calib.)	63,6%	A1O4	ID
			868-852 a.C. (calib.)	4,6%	dentro de hoyo ID	
6KW-B-C11	Tka-12725	2785 \pm 40	912-825 a.C. (calib.)	68,2%	B1O8,9 20a	ID
90K-A-H-6*	NUTA-2333	2560 \pm 170	796-413 a.C. (calib.)	68,2%	A2O2 5a inferior	ID
9K-C-B7	TK-913	2710 \pm 80	924-763 a.C. (calib.)	66,6%	B5, 11a	KW-2
			681-673 a.C. (calib.)	1,6%		
90K-B-C14	TK-908	2560 \pm 60	776-706 a.C. (calib.)	19,2%	B4E2 sur	KW-2
			695-540 a.C. (calib.)	49%	8a	
			756-684 a.C. (calib.)	22,7%		
98KW-B-C14	Tka-12730	2525 \pm 40	669-607 a.C. (calib.)	18,8%	B1O16(N)	KW-2
			602-515 a.C. (calib.)	26,7%	7a	
			754-685 a.C. (calib.)	20,6%		
9K-C-B60	TK-912	2520 \pm 60	668-609 a.C. (calib.)	16,7%	B6 centro	KW-2
			599-508 a.C. (calib.)	26,1%	13a	
			438-420 a.C. (calib.)	4,7%		
			748-688 a.C. (calib.)	18,8%		
9K-C-B58	TK-909	2510 \pm 50	666-643 a.C. (calib.)	6,8%	B4	KW-2
			591-578 a.C. (calib.)	3,6%	12a	
			566-483 a.C. (calib.)	24,5%		
			467-415 a.C. (calib.)	14,5%		
			747-689 a.C. (calib.)	19,2%		
			665-645 a.C. (calib.)	6,2%	B2O16	
98KW-B-C13	Tka-12729	2505 \pm 40	588-582 a.C. (calib.)	1,5%	8a	KW-2
			554-479 a.C. (calib.)	24,1%		
			471-414 a.C. (calib.)	17,1%		

9K-C-B47	TK-910	2410 ± 50	522-379 a.C. (calib.)	68,2%	B4, 12a 9a	KW-2
9K-C-B44	TK-911	2330 ± 60	400-351 a.C. (calib.) 300-210 a.C. (calib.)	27,5% 40,7%	B4, 12a 9a	KW-2
98KW-A-C22	Tka-11797	2750 ± 70	915-799 a.C. (calib.)	68,2%	A8O18 8a	KW-2 (mezcla con CP)
9K-N-A137(1)*	NUTA- 2025	2960 ± 170	1367-1364 a.C. (calib.) 1314-907 a.C. (calib.)	0,4% 67,8%	A2E2, A-Tm3	KW-1
9K-N-A137(2)*	TERRA- 013001b38	2515 ± 50	751-686 a.C. (calib.) 667-637 a.C. (calib.) 621-614 a.C. (calib.) 595-486 a.C. (calib.) 462-450 a.C. (calib.) 441-417 a.C. (calib.)	19% 8,6% 1,7% 29,7% 2,9% 6,3%	A2E2, A-Tm3	KW-1
9KW-N-A128*	TERRA- 111400d26	2575 ± 45	783-735 a.C. (calib.) 690-663 a.C. (calib.) 649-547 a.C. (calib.)	11% 39,3%	A2E1 A-Tm1	KW-1
7KW-B-H2*	TERRA- 120100a09	2570 ± 60	787-725 a.C. (calib.) 694-541 a.C. (calib.)	18,8% 49,4%	B2O12 B-Tm1	KW-1
7KW-C-H2*	TERRA- 120100a10	2490 ± 50	742-689 a.C. (calib.) 664-648 a.C. (calib.) 550-407 a.C. (calib.)	15,9% 4,6% 47,7%	C9E1 C-Tm1	KW-1
3KW-A-H5*	TERRA- 013001b19	2470 ± 45	728-693 a.C. (calib.) 658-654 a.C. (calib.) 542-404 a.C. (calib.) 723-694 a.C. (calib.)	11,2% 1,1% 55,9% 4,8%	A3E5, capa KW	KW-1
3KW-A-H1*	TERRA- 013001b18	2390 ± 90	541-353 a.C. (calib.) 293-230 a.C. (calib.) 218-214 a.C. (calib.)	49,7% 13% 0,7%	A3E5, capa KW 6a	KW-1
3KW-B-H2*	TERRA- 013001b20	2535 ± 60	762-681 a.C. (calib.) 672-520 a.C. (calib.)	23,3% 44,9%	B5 19a	KW-2
90K-A-H5*	NUTA- 2105	2600 ± 170	816-414 a.C. (calib.)	68,2%	A3 hoyo (tierra movida)	KW
90K-A-H10(2)*	NUTA- 2334	2580 ± 120	801-510 a.C. (calib.) 436-427 a.C. (calib.)	66,6% 1,6%	A2O1 hoyo norte	KW
90K-A-H8(2)*	TERRA- 013001b28	2570 ± 50	783-731 a.C. (calib.) 692-661 a.C. (calib.) 651-545 a.C. (calib.)	17,9% 11,3% 38,9%	A2O1 hoyo norte (2)	KW

Tabla 2. Fechado de los materiales orgánicos y óseos humanos recuperados en las excavaciones en Kuntur Wasi (fase Copa [1]). El fechado calibrado fue calculado con el programa OxCal v4.0.1; curva de calibración: SHCa104. * indica material óseo humano (según Tsurumi, Yoshida y Yoneda 2007: tabla 3-3).

N.º de muestra	N.º de laboratorio	Fechado a.p.	Fechado calibrado	Probabilidad: 1 σ	Sector y estrato	Fase estratigráfica
6KW-G-C54	Tka-12732	2490 \pm 50	736-690 a.C. (calib.)	14,4%	G3E12 G-hueco1	CP-1
			663-649 a.C. (calib.)	4,1%	G-Tm3	
			548-406 a.C. (calib.)	49,7%	7a	
			508-438 a.C. (calib.)	19%		
6KW-G-C58	Tka-12344	2380 \pm 50	420-357 a.C. (calib.)	38,7%	G3E12 G-hueco1	CP-2
			283-257 a.C. (calib.)	7,7%	GTm4	
			246-235 a.C. (calib.)	2,8%		
9K-C-C5	TK-915	2280 \pm 60	379-346 a.C. (calib.)	14,6%	C8O4	CP-2
			321-206 a.C. (calib.)	53,6%	3a	
9K-C-C12	TK-914	2260 \pm 40	359-275 a.C. (calib.)	40,6%	C7O5 sur	CP-2
			259-204 a.C. (calib.)	27,6%	3a	
7KW-A-C23	Tka-11779	2600 \pm 80	803-725 a.C. (calib.)	23,8%	A7O21	CP-2/3
			694-541 a.C. (calib.)	44,4%	3a	
			745-689 a.C. (calib.)	18,5%		
6KW-G-C62	Tka-12733	2505 \pm 40	664-647 a.C. (calib.)	5,5%	G3-4E15	CP-3
			552-413 a.C. (calib.)	44,1%	3a	
			732-691 a.C. (calib.)	13,7%	G4E13	
6KW-G-C14	Tka-12731	2485 \pm 40	661-651 a.C. (calib.)	3%	Relleno entre las	CP-3
			545-409 a.C. (calib.)	51,5%	pedras de la G-Plaza 1	
6KW-B-C3	Tka-12724	2455 \pm 40	701-696 a.C. (calib.)	1,4%	B1O9	CP
			538-400 a.C. (calib.)	66,8%	6a	
6KW-G-C9	Tka-12728	2455 \pm 40	701-696 a.C. (calib.)	1,6%	G3E13sur- G4E13norte	CP
			538-400 a.C. (calib.)	66,6%	5a	
6KW-H-H10*	TERRA-120100a05	2765 \pm 60	916-806 a.C. (calib.)	68,2%	H1E17 H-Tm3(2)	CP-1
6KW-G-H62*	TERRA-120100a24	2645 \pm 50	822-750 a.C. (calib.)	45,4%	G3E12 G-Tm3A	CP-1
			687-667 a.C. (calib.)	9,1%		
			640-593 a.C. (calib.)	13,7%		
6KW-G-H168*	TERRA-120100a26	2615 \pm 60	803-746 a.C. (calib.)	27,6%	G3E12 G-Tm5	CP-1
			689-665 a.C. (calib.)	10,4%		
			646-554 a.C. (calib.)	30,1%		
4KW-B-H18*	TERRA-013001b29	2605 \pm 50	799-746 a.C. (calib.)	25,3%	B8E2 B-Tm303(2)	CP-1
			646-553 a.C. (calib.)	32,2%		

9K-N-CT3*	TERRA-111400d28	2565 ± 40	772-731 a.C. (calib.)	15,1%	C9O4 C-Tm4	CP-1
			691-661 a.C. (calib.)	11,5%		
			651-545 a.C. (calib.)	41,5%		
4KW-B-H11*	TERRA-013001b25	2540 ± 80	767-514 a.C. (calib.)	68,2%	B8E1 B-Tm301	CP-1
4KW-B-H17*	TERRA-013001b27	2535 ± 45	759-683 a.C. (calib.)	23,1%	B8E2 B-Tm303(1)	CP-1
			670-523 a.C. (calib.)	45,1%		
6KW-H-H9*	TERRA-120100a04	2530 ± 50	761-682 a.C. (calib.)	22,7%	H1E17 H-Tm3(1)	CP-1
			671-512 a.C. (calib.)	45,5%		
			750-687 a.C. (calib.)	19,7%		
4KW-B-H1503*	TERRA-013001b34	2515 ± 50	667-640 a.C. (calib.)	8,1%	B2O5 Estructura	CP-1
			594-486 a.C. (calib.)	30,8%		
			462-450 a.C. (calib.)	3,1%		
			441-417 a.C. (calib.)	6,6%		
			752-686 a.C. (calib.)	16,5%		
7KW-A-H39*	TERRA-120100a14	2515 ± 110	667-633 a.C. (calib.)	8,4%	A7O9 A-Tm4	CP-1
			624-612 a.C. (calib.)	2,7%		
			596-482 a.C. (calib.)	27,9%		
			468-415 a.C. (calib.)	12,6%		
			746-689 a.C. (calib.)	15%		
4KW-B-H13*	TERRA-013001b26	2465 ± 80	665-646 a.C. (calib.)	4,6%	B8E2 B-Tm302	CP-1
			587-584 a.C. (calib.)	0,7%		
			553-397 a.C. (calib.)	47,9%		
9K-N-CT5*	TERRA-013001b37	2440 ± 60	722-694 a.C. (calib.)	7,5%	C9O4 C-Tm5	CP-1
			541-393 a.C. (calib.)	60,7%		
			398-352 a.C. (calib.)	28,4%		
6KW-G-H58*	TERRA-120100a19	2330 ± 50	296-229 a.C. (calib.)	35,8%	G3E12 G-Tm3(B)	CP-1
			221-211 a.C. (calib.)	4%		
6KW-G-H6*	TERRA-120100a17	1535 ± 50	547-639 a.C. (calib.)	68,2%	G5E15 G-Tm1	CP-1
6KW-G-H155*	TERRA-120100a25	2645 ± 50	823-750 a.C. (calib.)	44,7%	G3E12 G-Tm4	CP-2
			687-667 a.C. (calib.)	9,1%		
			641-593 a.C. (calib.)	14,4%		

partes. La estrategia de excavación consistió en la realización de largas trincheras y, luego, de ampliaciones para determinar las formas y dimensiones de las estructuras. Asimismo, se excavó o profundizó hasta los niveles de los pisos correspondientes a las estructuras para obtener datos estratigráficos con el fin de interpretar las secuencias arquitectónicas.

En todas las temporadas se elaboraron planos a escala de 1 a 20 o 1 a 40 en cada sector. En suma, se trazó alrededor de 1200 hojas de planos. Al mismo tiempo, se estudiaron los muros, se consideraron sus niveles y se analizó la estratigrafía con la cerámica relacionada para las interpretaciones de la secuencia constructiva. En el laboratorio se confeccionaron planos a escala de 1 a 100 de cada momento de la secuencia constructiva. Sobre la base de estos análisis se definieron nueve subfases constructivas. En la fase Ídolo

Tabla 3. Fechado de los materiales orgánicos y óseos humanos recuperados en las excavaciones en Kuntur Wasi (fases Copa [2] y Sotera). El fechado calibrado fue calculado con el programa OxCal v4.0.1; curva de calibración: SHCa104. * indica material óseo humano (según Tsurumi, Yoshida y Yoneda 2007: tablas 3-3, 3-4).

N.º de muestra	N.º de laboratorio	Fechado a.p.	Fechado calibrado	Probabilidad: 1 σ	Sector y estrato	Fase estratigráfica
4KW-B-H1501*	TERRA-013001b30	2680 \pm 50	841-765 a.C. (calib.) 679-674 a.C. (calib.) 832-748 a.C. (calib.)	66,7% 1,5% 42,1%	B1O8 4a	CP-3
7KW-A-H7(-11)*	TERRA-120100a06	2650 \pm 60	688-666 a.C. (calib.) 643-591 a.C. (calib.) 578-566 a.C. (calib.)	8,4% 14,7% 3%	A8O19 Tumba	CP-3
7KW-A-S36(A-H17)*	TERRA-120100a08	2610 \pm 60	801-746 a.C. (calib.) 689-665 a.C. (calib.) 646-553 a.C. (calib.) 796-741 a.C. (calib.)	26,2% 10,4% 31,6% 22,7%	A8O20 Tumba	CP-3
3KW-B-H514*	TERRA-013001b24	2595 \pm 60	689-664 a.C. (calib.) 648-549 a.C. (calib.) 749-688 a.C. (calib.)	10,4% 35,1% 16,3%	B6O2N B-Tm201	CP-3
3KW-B-Tm201*	TERRA-013001b39	2500 \pm 90	666-642 a.C. (calib.) 592-577 a.C. (calib.) 568-410 a.C. (calib.) 731-692 a.C. (calib.)	6,2% 3,8% 41,8% 12,3%	B6O2N B-Tm201	CP-3
6KW-G-H12*	TERRA-120100a18	2475 \pm 50	661-651 a.C. (calib.) 544-404 a.C. (calib.) 731-692 a.C. (calib.)	2,7% 53,2% 11,2%	B1O12 G-Tm2	CP-3
7KW-A-H32*	TERRA-120100a07	2455 \pm 60	661-651 a.C. (calib.) 544-397 a.C. (calib.) 406-357 a.C. (calib.)	2,4% 54,6% 50%	A7O8, Tumba	CP-3
9K-N-CT2(2)*	TERRA-111400d27	2360 \pm 40	283-257 a.C. (calib.) 246-235 a.C. (calib.)	13,4% 4,8%	C7O3 C-Tm3	CP-3
9K-N-CT2(1)*	NUTA-2079	2290 \pm 170	510-436 a.C. (calib.) 425-46 a.C. (calib.) 839-750 a.C. (calib.)	7,7% 60,5% 49,3%	C7O3 C-Tm3	CP-3
6KW-H-H8*	TERRA-120100a27	2660 \pm 60	687-667 a.C. (calib.) 641-593 a.C. (calib.) 841-753 a.C. (calib.)	7,5% 11,5% 56,8%	H4O1 4a H-Tm4	CP-1/2/3
4KW-B-H1508*	TERRA-013001b36	2665 \pm 50	686-668 a.C. (calib.) 631-625 a.C. (calib.) 612-596 a.C. (calib.)	6,5% 1,3% 3,6%	B2O5 B-Tm1501(2)	CP-2/3
4KW-B-H1506*	TERRA-013001b35	2570 \pm 50	786-726 a.C. (calib.) 694-542 a.C. (calib.)	18,5% 49,7%	B2O5 B-Tm1501(1)	CP-2/3



Fig. 2. Cerámica de Kuntur Wasi. a. ID-Rojo y Blanco A; b. ID-Pintado Postcocción en Zona (fase Ídolo); c. KW-Gris Fino; d. KW-Rojo sobre Anaranjado (fase Kuntur Wasi) (foto: Proyecto Kuntur Wasi).

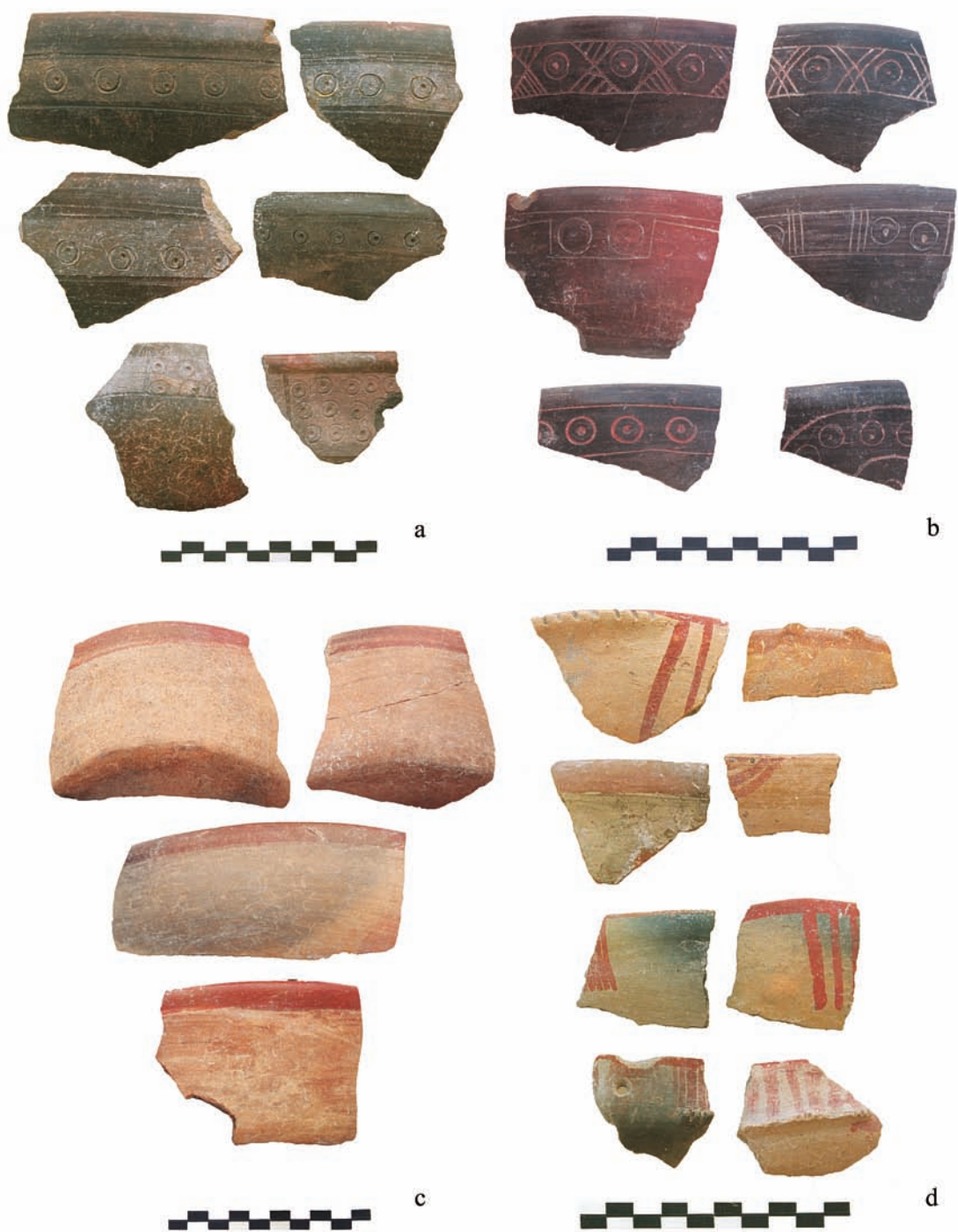


Fig. 3. Cerámica de Kuntur Wasi. a. SG-Marrón Inciso (fase Kuntur Wasi); b. CP-Marrón Inciso B; c. CP-Rojo y Blanco (fase Copa); d. ST-Rojo sobre Blanco (fase Sotera) (foto: Proyecto Kuntur Wasi).

9K-N-CT6*	NUTA-2026	2350 ± 170	745-689 a.C. (calib.)	6,6%	C9E1 C-Tm6	¿CP?
			665-647 a.C. (calib.)	2%		
			552-164 a.C. (calib.)	58,8%		
			128-121 a.C. (calib.)	0,8%		
90K-B-H32(2)*	NUTA-2080	2210 ± 190	401 a.C.-54 d.C. (calib.)	68,2%	B4O3 6a	CP
6KW-A-C33	Tka-12723	2440 ± 40	517-396 a.C. (calib.)	68,2%	A7O12 4a	ST (mezcla con CP)
6KW-A-C10	Tka-12734	2425 ± 40	515-392 a.C. (calib.)	68,2%	A7O12 4a	ST (mezcla con CP)
6KW-B-H1*	TERRA-120100a15	2510 ± 90	750-687 a.C. (calib.)	16,5%	B1O10 2a	ST
			667-641 a.C. (calib.)	6,7%		
6KW-B-H12*	TERRA-120100a16	2300 ± 90	593-414 a.C. (calib.)	44,9%	B1O12	ST
			400-192 a.C. (calib.)	68,2%		

hay dos subfases constructivas, ID-1 (Fig. 4) y ID-2 (Fig. 5); la fase Kuntur Wasi tiene otras dos, KW-1 (Fig. 6) y KW-2 (Fig. 12); la fase Copa comprende tres, CP-1 (Fig. 13), CP-2 (Fig. 16) y CP-3 (Fig. 18), y la fase Sotera presenta dos, ST-1 (Fig. 19) y ST-2 (Fig. 20). De dichos planos en dos dimensiones se han podido hacer modelos tridimensionales para cuatro subfases, KW-1 (Figs. 22, 26, 27), KW-2 (Figs. 23, 28, 31), CP-1 (Figs. 24, 29, 32) y CP-2 (Figs. 25, 30), cuyos datos arquitectónicos, de manera visible, son más abundantes.³

4. La secuencia constructiva del conjunto arquitectónico de Kuntur Wasi

A continuación se describirá la secuencia arquitectónica de Kuntur Wasi por fases y subfases, las que han sido determinadas conforme a los resultados de los trabajos de campo.⁴

4.1. La fase Ídolo

4.1.1. Ídolo 1. Durante la fase Ídolo se construyeron las primeras estructuras ceremoniales directamente sobre la tierra estéril. Aunque no se tienen muchos datos arquitectónicos, en la cumbre del cerro se encontraron evidencias limitadas de las actividades de construcción de algunas plataformas y plazas (Fig. 4). En la subfase constructiva ID-1 (subfase Ídolo 1) se edificaron, al menos, cuatro plataformas: la ID-Plataforma Central (Plataforma Central Ídolo), la ID-Plataforma Noreste, la ID-Plataforma Este 1 y la ID-Plataforma Sureste, todas con una misma orientación. La ID-Plataforma Central, que tiene 10,20 metros de ancho y 1,60 metros de alto, se encuentra, aproximadamente, en el centro de la cumbre. La ID-Plataforma Noreste, que está situada al frente de la ID-Plataforma Central, tiene 20 metros de ancho. El eje central de las dos plataformas es el mismo. Se observan conjuntos arquitectónicos compuestos de una plataforma y una plaza: la ID-Plataforma Este 1 con la ID-Plaza Este, y la ID-Plataforma Sureste con la ID-Plaza Sureste.

4.1.2. Ídolo 2. Aunque no se disponía de muchos datos arquitectónicos detallados, debido a los rasgos descubiertos, era evidente que en esta fase se presentaron dos subfases constructivas en la fase Ídolo (Fig. 5). La arquitectura de la subfase ID-1 se modificó en la subfase ID-2, cuando la parte baja de la ID-Plataforma Central fue bordeada por muros de doble cara. En la ID-Plataforma Este 1 se ampliaron los lados noreste y noroeste. De manera simultánea, se construyeron nuevas plataformas y plazas: la ID-Plaza Central, la ID-

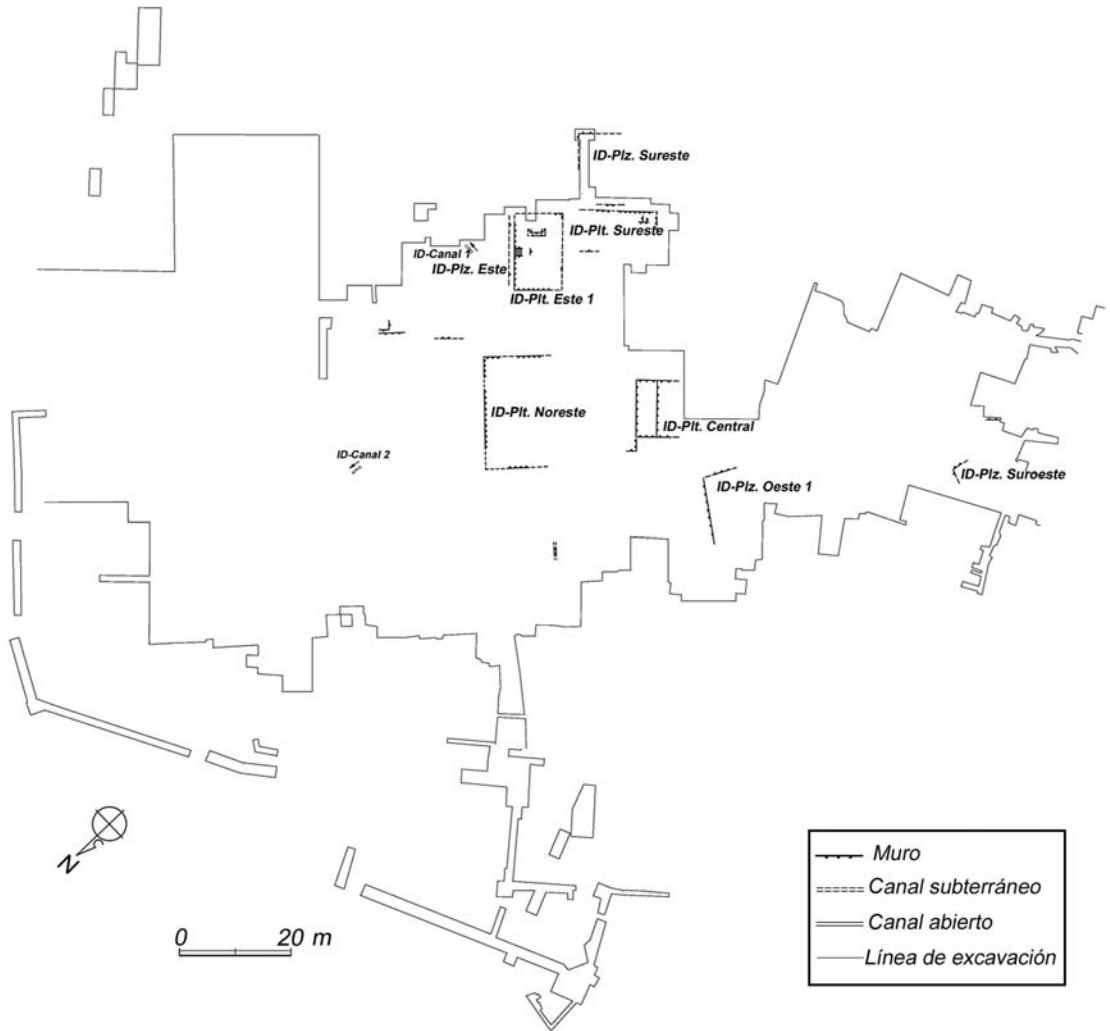


Fig. 4. Plano del conjunto arquitectónico de la subfase ID-1 (elaboración del gráfico: Kinya Inokuchi y Eisei Tsurumi).

Plataforma Noroeste y la ID-Plataforma Este 2. Encima de la ID-Plataforma Noroeste hay dos recintos. En el piso se encontró un ídolo de barro en altorrelieve de 73,5 centímetros de altura y representa a un hombre-jaguar (cf. Onuki [ed.] 1995).

4.2. La fase Kuntur Wasi

4.2.1. Kuntur Wasi 1. En el inicio de la fase Kuntur Wasi, es decir, en la subfase constructiva KW-1, se destruyeron o cubrieron todas las estructuras de la fase Ídolo y se erigió un nuevo conjunto arquitectónico en gran escala (Figs. 6, 22). No se han encontrado evidencias de la reutilización de las estructuras de la fase precedente. Algunos de los elementos arquitectónicos más importantes de esta fase fueron conservados hasta la subfase CP-2 de la fase Copa y se los denominó Principio Constructivo Básico del Templo. Se trata, específicamente, de tres elementos fundamentales: a) edificación de la Plataforma Principal, b) creación de un Conjunto Arquitectónico Central del Templo y c) establecimiento de un sistema de canales.

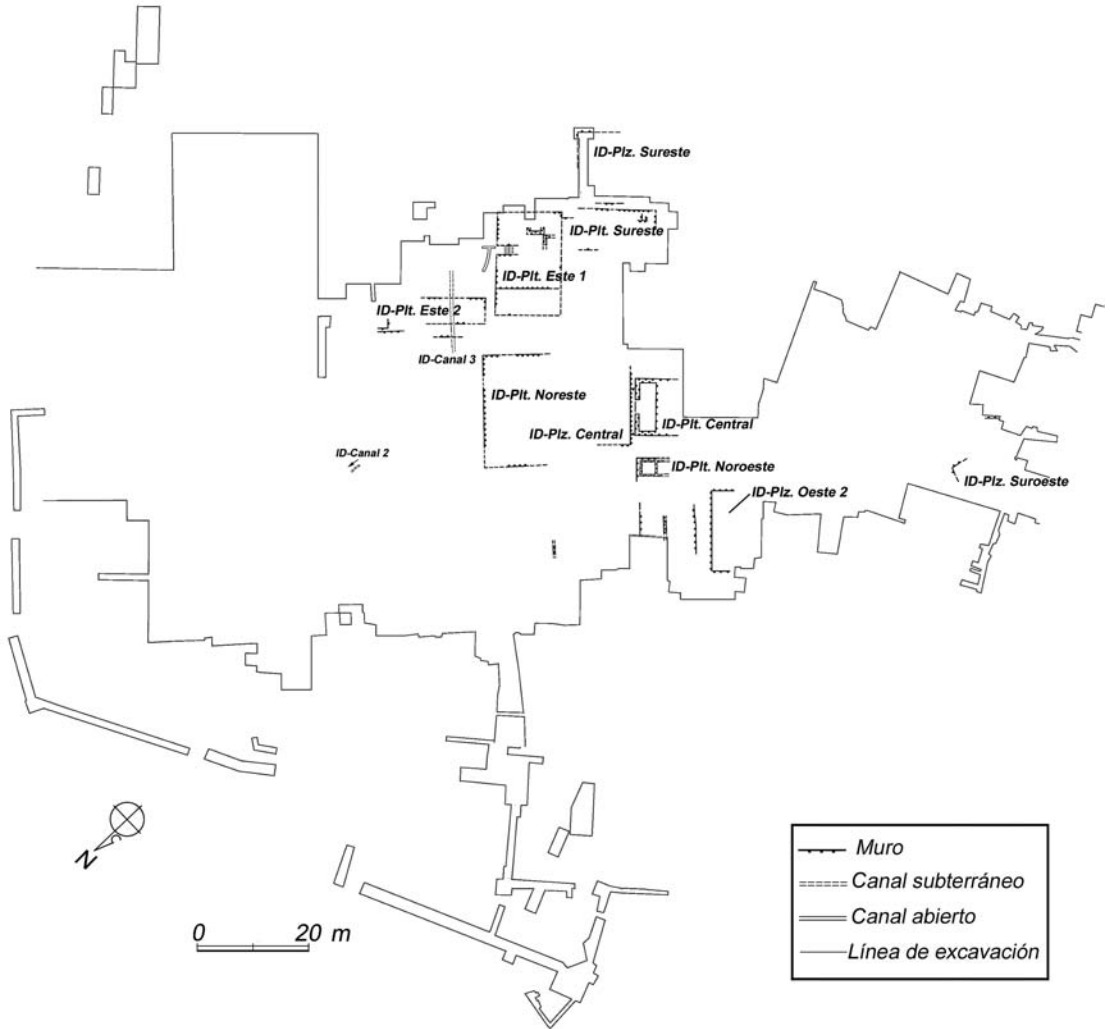


Fig. 5. Plano del conjunto arquitectónico de la subfase ID-2 (elaboración del gráfico: Kinya Inokuchi y Eisei Tsurumi).

A continuación se describe el conjunto arquitectónico del centro ceremonial de la fase Kuntur Wasi sobre la base de estos tres aspectos.

Construcción de la Plataforma Principal: al inicio de la fase Kuntur Wasi se construyó un inmenso muro con tres gradas que rodeaba toda la cima del cerro —es decir, la Plataforma Principal— que mide, aproximadamente, 140 metros de ancho de noroeste a sureste y 160 metros de largo de noreste a suroeste en la base, y tiene 8,70 metros de alto. También se estableció un acceso, la KW-Escalera Principal (Escalera Noreste 1), de 11 metros de ancho, en el centro del muro de contención de la Plataforma Principal del lado noreste (Fig. 7). Si se desciende por la escalera, se encuentra la Primera Terraza, que tiene alrededor de 120 metros de ancho por 40 metros de largo. En el centro de la terraza hay una plaza cuadrangular, la KW-Plaza Noreste, que mide casi 26,50 metros de ancho por 27 metros de largo (Fig. 8). Como se mencionó arriba, en la cima del cerro también se edificaron estructuras en la fase Ídolo. Sin embargo, no se hallaron evidencias del muro de contención que sostenía el terreno de la cumbre ni vestigios de utilización de la terraza en

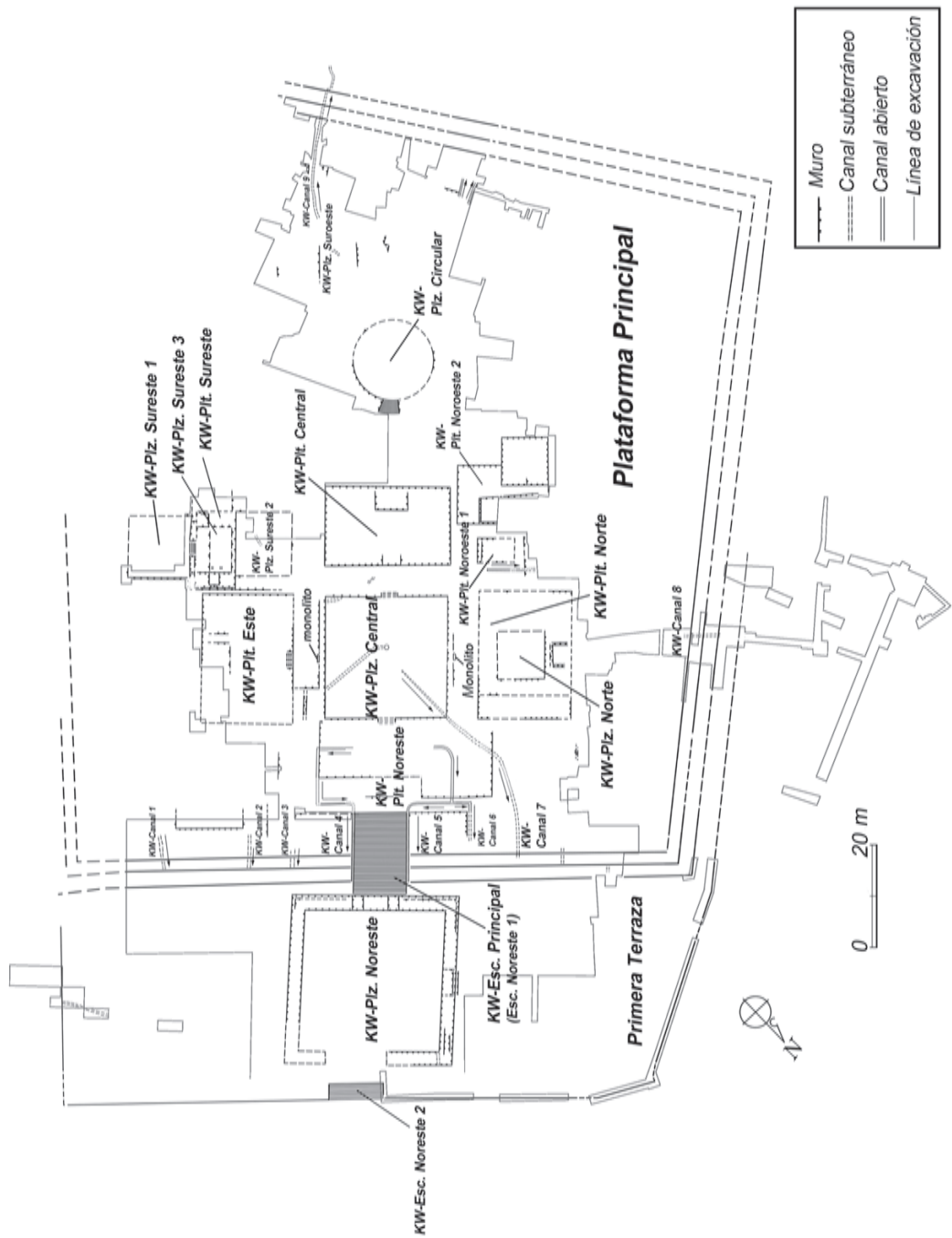


Fig. 6. Plano del conjunto arquitectónico de la subfase KW-1 (elaboración del gráfico: Kinya Inokuchi y Eisei Tsurumi).



Fig. 7. Lado noreste de la Plataforma Principal y la KW/CP-Escalera Principal luego de su restauración (foto: Proyecto Kuntur Wasi).

el lado noreste del cerro durante esta fase. Según los datos de excavación, esto indicaría que la Plataforma Principal fue erigida en el inicio de la fase Kuntur Wasi, es decir, en la subfase constructiva KW-1.

Construcción del Conjunto Arquitectónico Central del Templo: encima de la Plataforma Principal se erigieron varias nuevas estructuras en la subfase KW-1. El conjunto arquitectónico más importante, al que se le denominó Conjunto Arquitectónico Central del Templo, se compone de una plaza cuadrangular hundida o KW-Plaza Central (Fig. 9), y cuatro plataformas a su alrededor, que son la KW-Plataforma Central, la KW-Plataforma Este, la KW-Plataforma Norte y la KW-Plataforma Noreste (Figs. 26, 27). La KW-Plataforma Noreste está a un nivel muy bajo (70 centímetros de alto) y tiene acceso directo a la KW-Plaza Central, por lo que se puede decir que las tres plataformas —la KW-Plataforma Central, la KW-Plataforma Este y la KW-Plataforma Norte— están dispuestas a los tres lados de la KW-Plaza Central en forma de «U», y que el lado noreste de la plaza está abierto.

Las construcciones del Conjunto Arquitectónico Central del Templo están situadas en dos ejes principales: de noreste a suroeste y de noroeste a sureste. En el eje que pasa de noreste a suroeste se encuentran la KW-Plataforma Noreste, la KW-Plaza Central y la KW-Plataforma Central. Las escaleras entre ellas tienen el mismo eje. Sobre el otro, que pasa de noroeste a sureste, se ubican la KW-Plataforma Norte, la KW-Plaza Central y la KW-Plataforma Este. Los dos ejes se cruzan en el centro de la KW-Plaza Central. La ubicación de la arquitectura indica que la KW-Plaza Central fue el espacio ceremonial más importante de todo el complejo. Mide, aproximadamente, 23,50 metros de ancho, 24 metros de largo y 0,50 metros de profundidad. En el frente suroeste de esta plaza se encuentra la KW-Plataforma Principal que tiene 24,50 metros de ancho, 15 metros de largo y 1,50 metros de alto. La ubicación de la KW-Plataforma Este y la KW-Plataforma Norte, ambas de 18 metros de ancho y 25 metros de largo, es simétrica. Al suroeste del Conjunto Arquitectónico Central del Templo se encuentra la KW-Plaza Circular, que mide alrededor de 15,60 metros de diámetro y 2,20 metros de profundidad.⁵

Establecimiento de un sistema de canales: el tercer elemento del Principio Constructivo Básico del Templo lo constituye el sistema de canales. Al inicio de la fase Kuntur Wasi se construyeron conductos subterráneos que corren por debajo de los pisos o dentro de las plataformas, y tienen salidas o aberturas en los muros de



Fig. 8. La KW/CP-Plaza Noreste de la Primera Terraza restaurada (foto: Proyecto Kuntur Wasi).



Fig. 9. La KW/CP-Plaza Central restaurada (foto: Proyecto Kuntur Wasi).



Fig. 10. Salida del KW-Canal 8 en el muro de contención del lado noroeste de la Plataforma Principal (foto: Proyecto Kuntur Wasi).

contención de la Plataforma Principal (Fig. 10). Por lo tanto, se puede postular que el establecimiento de un sistema de canales en el centro ceremonial fue previamente planificado.

La KW-Plaza Central tiene dos entradas o sumideros de canal. Uno de ellos, el KW-Canal 7 (Fig. 11), corre por debajo de la plaza, pasa por dentro de la KW-Plataforma Noreste y sale en el muro de contención del lado noreste de la Plataforma Principal, que tiene seis salidas de canal en total. La KW-Escalera Principal también sirvió para el desagüe, ya que a ambos lados de sus peldaños y muros hay dos zanjas de 35 centímetros de ancho (KW-canales 4 y 5). Las zanjas se conectan a los canales que corren por encima de la KW-Plataforma Noreste.

Tumbas extraordinarias y monolitos de piedra: otros eventos realizados en la subfase constructiva KW-1 que valen la pena de ser mencionados son entierros extraordinarios con objetos de oro y las estructuras con monolitos de piedra que presentan una iconografía muy elaborada. Durante las excavaciones de las temporadas 1989 y 1990 se encontraron cuatro tumbas con objetos de oro debajo del piso de la KW-Plataforma Central (A-Tm 1, A-Tm 2, A-Tm 3 y A-Tm 4). En 1997 se halló otra tumba con objetos de oro (B-Tm 1) en el relleno sellado por el piso de la KW-Plataforma Noroeste 2. De acuerdo con la estratigrafía, estas tumbas especiales fueron preparadas durante la construcción de las nuevas plataformas de la fase Kuntur Wasi.⁶ Al mismo tiempo, se cree que los monolitos de piedra fueron dispuestos en el conjunto arquitectónico del centro ceremonial en la fase Kuntur Wasi.⁷ Los entierros especiales y la colocación de monolitos deben haber tenido relación con la construcción del nuevo conjunto arquitectónico de la subfase constructiva KW-1.

4.2.2. Kuntur Wasi 2. En la subfase constructiva KW-2 básicamente no hubo cambios en la ubicación de las estructuras (Figs. 12, 23). Se mantuvo el Conjunto Arquitectónico Central del Templo, construido en la subfase KW-1 (Fig. 28), aunque sí se realizan ampliaciones y modificaciones parciales de las estructuras. A la KW-Plataforma Este se le agrega una grada a su perímetro y sobre ella se construye una plaza



Fig. 11. El KW-Canal 7 en la KW-Plaza Central (foto: Proyecto Kuntur Wasi).

cuadrangular, la KW-Plaza Este, y cuatro plataformas pequeñas. La KW-Plaza Este mide 8,50 metros de ancho, 10 metros de largo y 0,30 metros de profundidad. La KW-Plataforma Norte y la KW-Plataforma Noreste se amplían en el lado sureste. En la KW-Plaza Central se construyeron dos nuevas escaleras en los lados noroeste y sureste.

4.3. La fase Copa

4.3.1. Copa 1. En la fase Copa se desarrolló una intensa actividad constructiva; sin embargo, se puede determinar que persistió el Principio Constructivo Básico del Templo establecido en la fase Kuntur Wasi (Figs. 13, 24). Durante la subfase constructiva CP-1, en la parte noreste de la Plataforma Principal, permanecen las orientaciones de las estructuras, pero en la parte suroeste se produjo un importante cambio: se construyeron estructuras con eje y dirección distintos a los de la parte noreste. Para un mejor entendimiento, a continuación se explica cada sección en detalle (Fig. 14).

Parte noreste de la Plataforma Principal: si bien la mayoría de los muros se volvieron a construir y todos los pisos se renovaron durante la subfase CP-1, no hay grandes cambios en la ubicación de las estructuras en

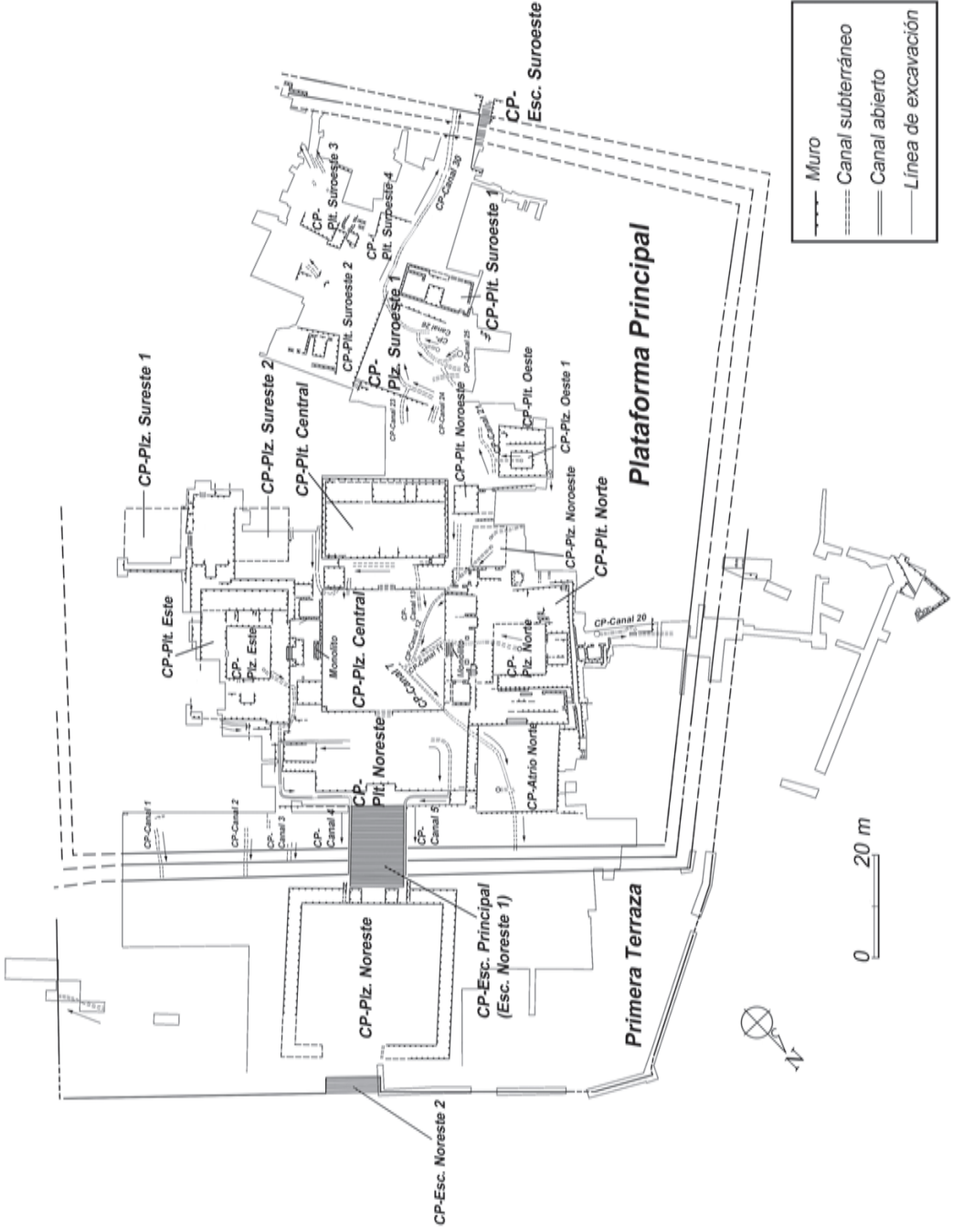


Fig. 13. Plano del conjunto arquitectónico de la subfase CP-1 (elaboración del gráfico: Kinya Inokuchi y Eisei Tsurumi).

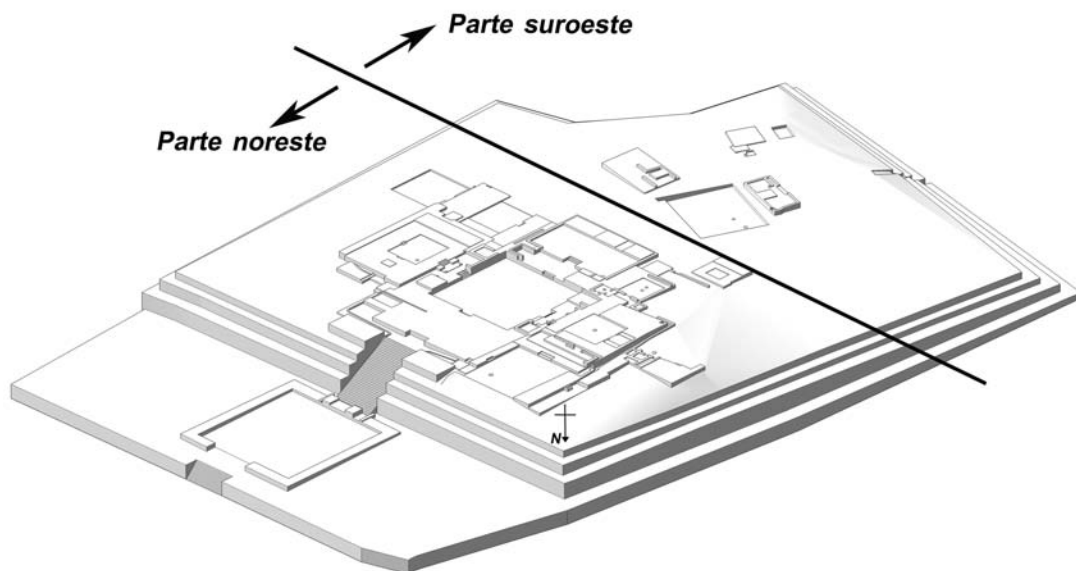


Fig. 14. Reconstrucción del conjunto arquitectónico de la Plataforma Principal en la subfase CP-1, compuesto por dos secciones (elaboración del gráfico: Kinya Inokuchi y Yuko Ito).

el sector noreste de la Plataforma Principal (Fig. 29). El piso de la CP-Plaza Central fue renovado y dos nuevos canales subterráneos (CP-Canal 11 y 12) se conectaron con el CP-Canal 7 construido durante la fase Kuntur Wasi. Encima de la CP-Plataforma Central, en la parte suroeste, se agrega una grada a su perímetro. En la CP-Plataforma Este y la CP-Plataforma Norte se efectuaron algunas ampliaciones, al igual que en los espacios entre la CP-Plaza Central y las dos plataformas, en donde se construyeron algunos cuartos y plataformas de pequeñas dimensiones. Por su parte, la CP-Plataforma Noreste también fue objeto de renovaciones.

Parte suroeste de la Plataforma Principal: en esta parte cambió drásticamente la ubicación de las estructuras. Al inicio de la fase Copa, la KW-Plaza Circular se cubrió del todo con una gruesa capa de tierra y encima se construyeron nuevas estructuras (Figs. 31, 32). La orientación de los muros es diferente a la anterior. Al mismo tiempo, se construyó un nuevo acceso a la Plataforma Principal, la CP-Escalera Suroeste, que tiene 2 metros de ancho. Las estructuras de mayor importancia en la parte suroeste son la CP-Plataforma Suroeste 1, que mide 14 metros de ancho, 6,50 metros de largo y 0,70 metros de alto, y la CP-Plaza Suroeste 1 que mide más de 15 metros de ancho, 16,50 metros de largo y 1,40 metros de profundidad. Este conjunto tiene un eje común, que se alinea con la CP-Escalera Suroeste. Debajo del piso de la CP-Plaza Suroeste 1 se construyeron varios canales subterráneos que tienen salidas (CP-Canal 30) en el muro de contención del lado suroeste de la Plataforma Principal.

En la parte noreste de la Plataforma Principal, si bien en cada estructura se realizaron ampliaciones y modificaciones, el Conjunto Arquitectónico Central del Templo siguió vigente y los dos ejes principales de la arquitectura se mantuvieron. Asimismo, aunque algunas secciones de sus muros fueron reforzadas, la Plataforma Principal continuó en uso. Los sistemas de canales persistieron y se ampliaron, conectándose nuevos canales con los ya instalados en la fase Kuntur Wasi. Se puede decir que los tres elementos arquitectónicos del Principio Constructivo Básico del Templo se conservaron en esta etapa. Por otro lado, en la parte suroeste de la Plataforma Principal hubo un cambio muy significativo. En conclusión, se puede decir que, durante la fase Copa (subfases CP-1 y CP-2), hay dos aspectos característicos: el mantenimiento del Principio Constructivo Básico del Templo y la construcción de un nuevo conjunto arquitectónico.



Fig. 15. Escultura lítica que representa el Principio Constructivo Básico del Templo (fase Copa; 27 por 22,6 por 14,8 centímetros) (foto: Yutaka Yoshii).

La importancia del concepto analítico del Principio Constructivo Básico del Templo se manifiesta en una escultura en piedra encontrada en un estrato correspondiente a la fase Copa (Fig. 15). Representa una imagen arquitectónica conformada por una plataforma principal escalonada de tres gradas, una plaza cuadrangular en su centro y una escalera en el frente, lo que coincide con las construcciones preeminentes halladas en el centro ceremonial de la fase Kuntur Wasi. La existencia de esta «maqueta» de piedra indicaría que no solo la arquitectura, sino también una idea o principio constructivo, seguía teniendo gran importancia durante el desarrollo de la fase Copa.

4.3.2. Copa 2.

Parte noreste de la Plataforma Principal: durante esta subfase constructiva se mantuvo la ubicación de las estructuras básicas (Figs. 16, 25, 30), por lo que se puede decir que el Principio Constructivo Básico del Templo persistió. Por otra parte, se dieron algunas ampliaciones de las plataformas: el lado noroeste de la CP-Plataforma Este se extendió en 1 metro, en la CP-Plataforma Noreste se modificó la sección sureste y se construyó un nuevo acceso de tres gradas en la esquina este, en tanto que en la CP-Plataforma Norte también se hizo una ampliación de cerca de 1 metro hacia el lado suroeste. Otro aspecto importante lo constituyen las construcciones de los recintos alrededor de las plazas encontradas en la subfase CP-2. En la CP-Plaza Norte, sobre la CP-Plataforma Norte, se identificaron 10 recintos alineados en tres de sus lados, y alrededor de la CP-Plaza Oeste 2, ubicada en el lado oeste de la Plataforma Principal, se hallaron otros 17 recintos.

Parte suroeste de la Plataforma Principal: durante la subfase CP-2, las nuevas estructuras se concentraron en esta zona (Fig. 33). El cambio más importante fue la construcción de una nueva plaza, la CP-Plaza Suroeste 2, que mide, aproximadamente, 14 metros de ancho por 17 metros de largo, y se ubica frente a la CP-Escalera Suroeste. Durante la subfase CP-2, la CP-Plataforma Suroeste 1 y la nueva CP-Plaza Suroeste 2 pasaron a ocupar un lugar preponderante. Por otro lado, la CP-Plaza Suroeste 1 (Fig. 17), construida en la subfase CP-1, se redujo en sus dimensiones y en el lado sureste se levantaron nuevas plataformas, la CP-Plataforma Suroeste 6 y 7. Al igual que en la parte noreste, se verificó la construcción de varios recintos. Se encontraron cinco de ellos alrededor de la CP-Plaza Suroeste 6, erigidos en esta misma subfase.

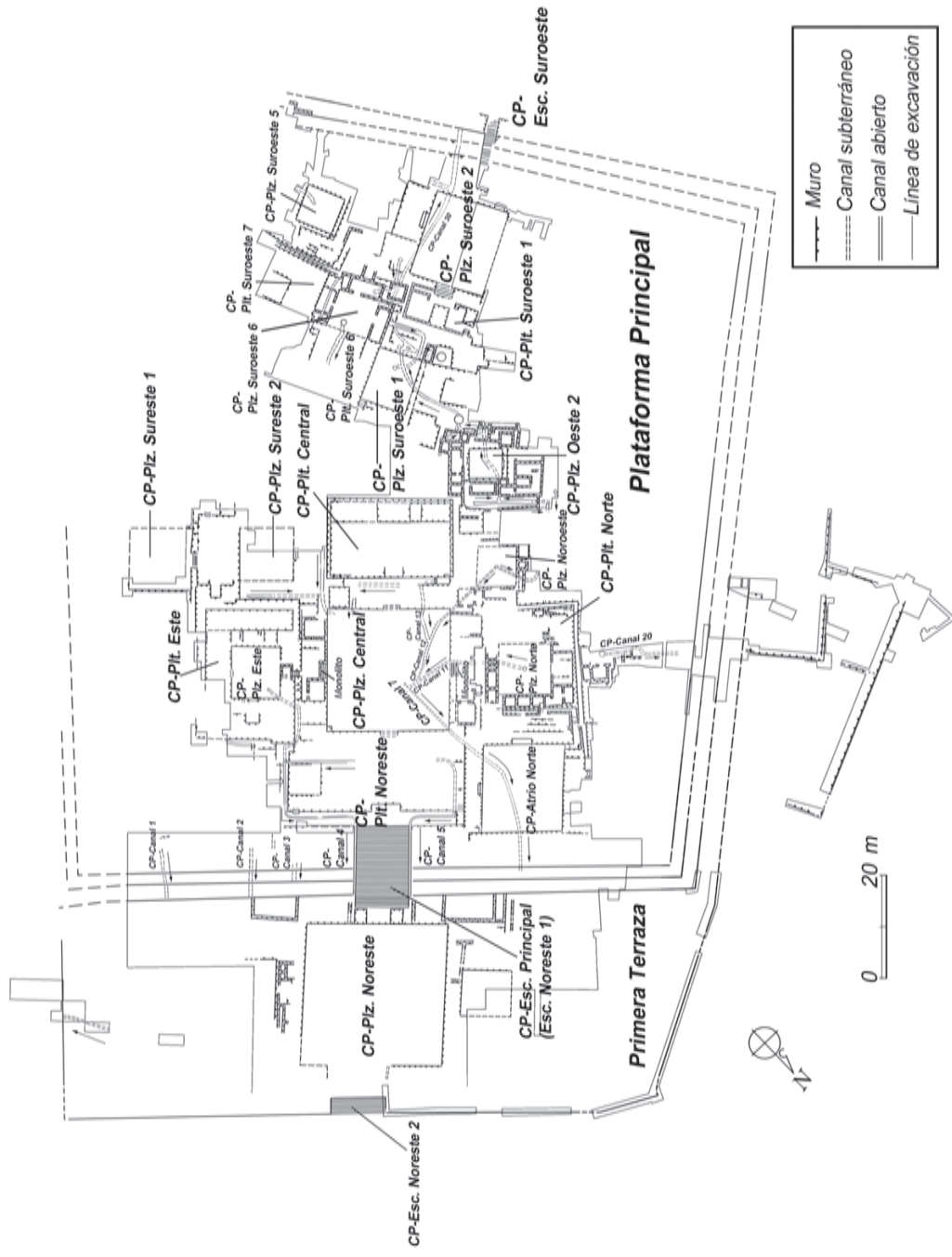


Fig. 16. Plano del conjunto arquitectónico de la subfase CP-2 (elaboración del gráfico: Kinya Inokuchi y Eisei Tsurumi).



Fig. 17. La CP-Plaza Suroeste 1 en la subfase CP-2 (foto: Proyecto Kuntur Wasi).

4.3.3. Copa 3. En la subfase constructiva CP-3, la última de la fase Copa, se produjeron cambios fundamentales en el sitio (Fig. 18). Aunque la Plataforma Principal todavía estaba en uso, se cubrieron la CP-Plaza Noreste de la Primera Terraza, construida en la subfase KW-1, y la CP-Escalera Suroeste en el lado opuesto, construida en la subfase CP-1. Además, la CP-Plaza Central, que era el espacio ceremonial de mayor importancia del Conjunto Arquitectónico Central del Templo, fue también enterrada. Si bien algunas estructuras, como, por ejemplo, la CP-Plataforma Central, el CP-Atrio Norte y la CP-Plataforma Este, estaban vigentes de acuerdo con los datos estratigráficos y los niveles, no se ha podido determinar si se las reutilizó. Se puede decir, con certeza, que se perdió coherencia en el eje de alineamiento del Conjunto Arquitectónico Central del Templo. Al mismo tiempo, se comprobó que la mayoría de las entradas de los canales fueron clausuradas y dejaron de funcionar. El sistema de canales del templo, establecido en la fase Kuntur Wasi, y que fue modificado y conservado durante las subfases CP-1 y CP-2, fue abandonado.

En conclusión, en la subfase CP-3 el Principio Constructivo Básico del Templo —que se consolidó en el inicio de la fase Kuntur Wasi y se mantuvo hasta la subfase CP-2— perdió importancia. No es posible reconocer el plano integral de la arquitectura de la subfase CP-3, pero se puede afirmar que el conjunto arquitectónico compuesto de plataformas y plazas desapareció, y los recintos pasan a ocupar un lugar de mayor preponderancia.

4.4. La fase Sotera

Durante la fase Sotera, en la parte final del Periodo Formativo, se produjo otro cambio de importancia. Además de la destrucción de las estructuras anteriores, se cubrió también la CP-Escalera Principal —el único acceso a la Plataforma Principal que permanece en uso hasta la fase Copa— a inicios de la fase Sotera. Además, todas las construcciones en la Primera Terraza y la Plataforma Principal de la subfase CP-3 fueron enterradas o destruidas.

Aunque se han confirmado dos subfases constructivas, es decir, ST-1 (Fig. 19) y ST-2 (Fig. 20), no son muchas las evidencias arqueológicas de las construcciones correspondientes a esta fase. Se han encontrado algunos muros de doble cara que podrían corresponder a las viviendas en la parte norte de la Plataforma

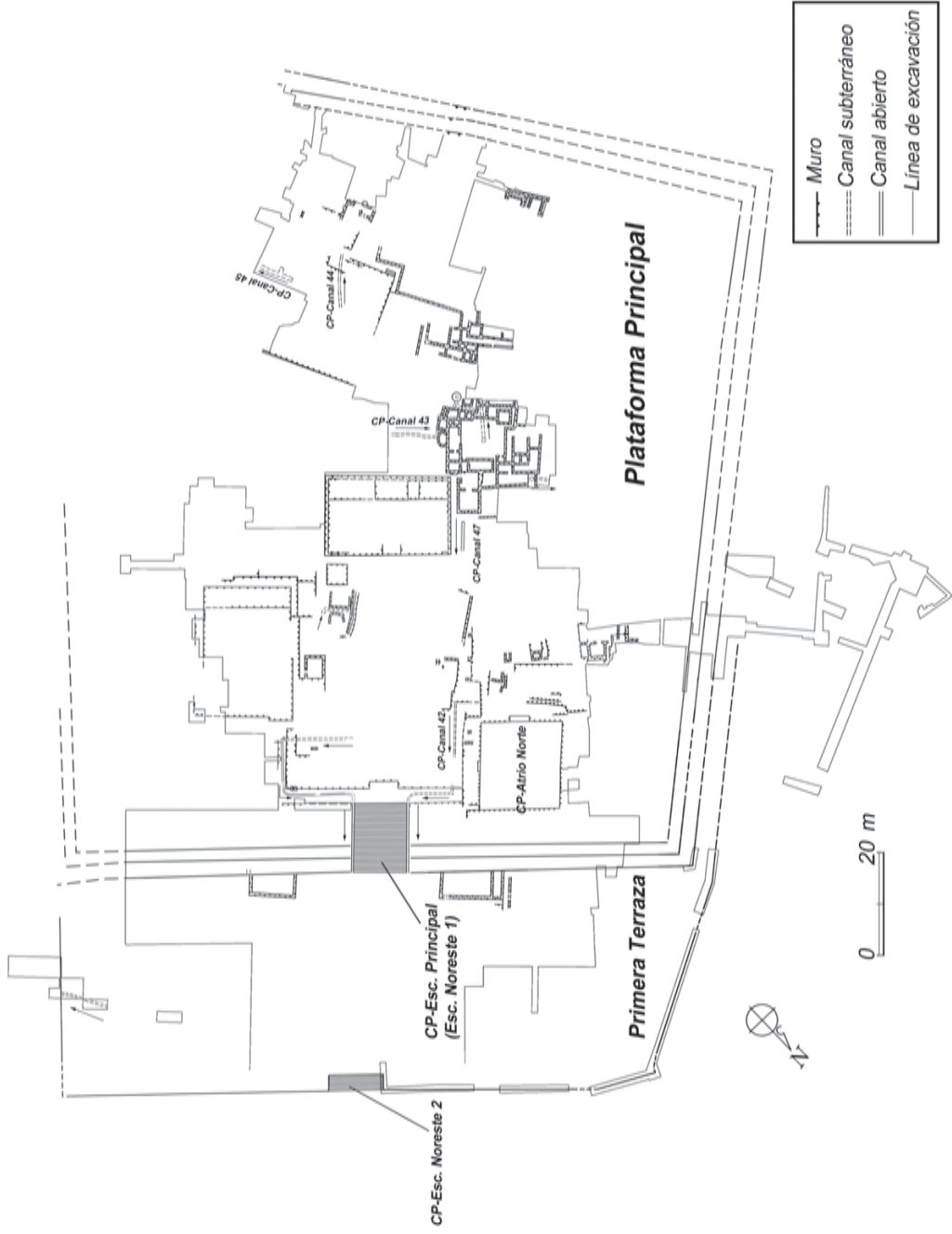


Fig. 18. Plano del conjunto arquitectónico de la subfase CP-3 (elaboración del gráfico: Kinya Inokuchi y Eisei Tsurumi).

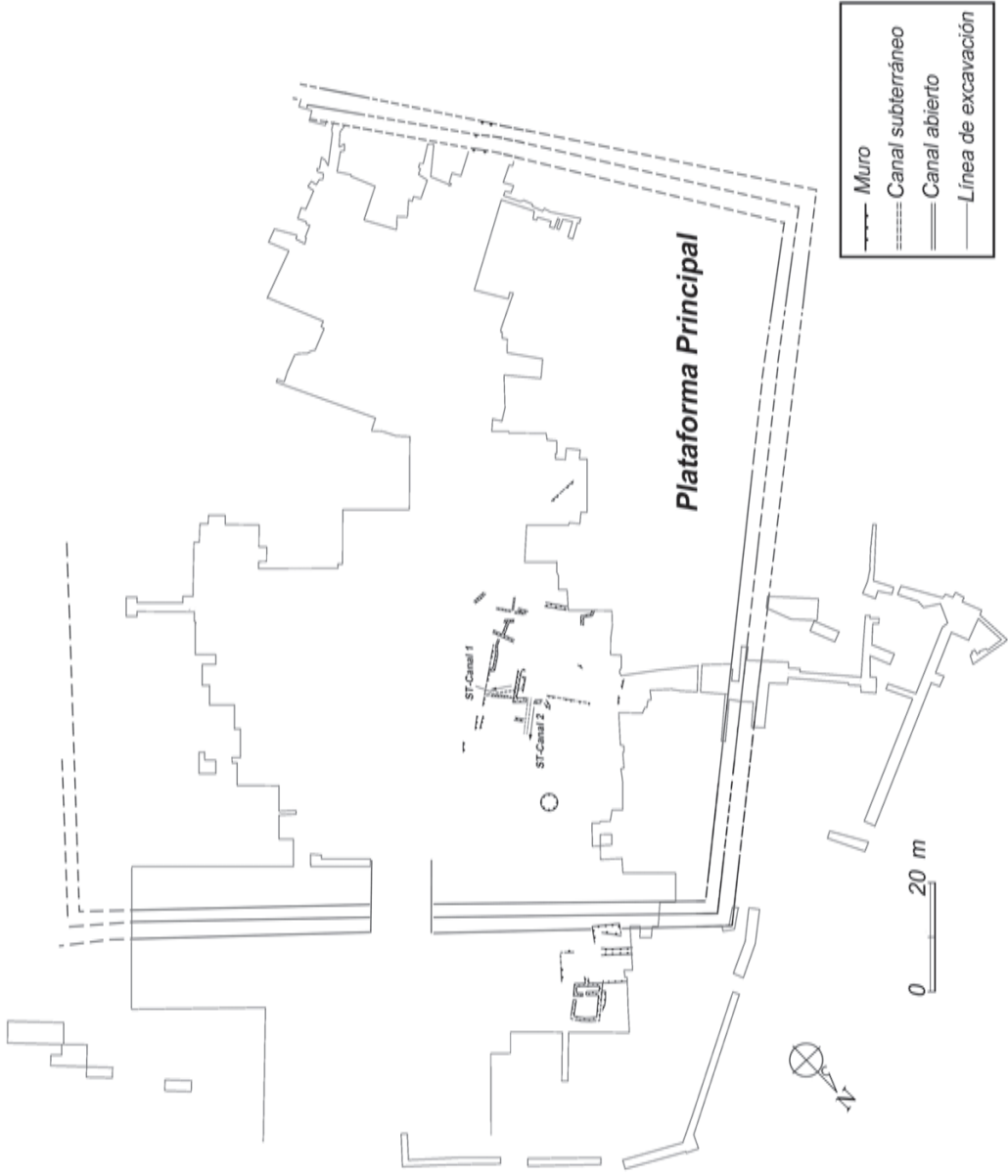


Fig. 19. Plano del conjunto arquitectónico de la subfase ST-1 (elaboración del gráfico: Kinya Inokuchi y Eisei Tsurumi).

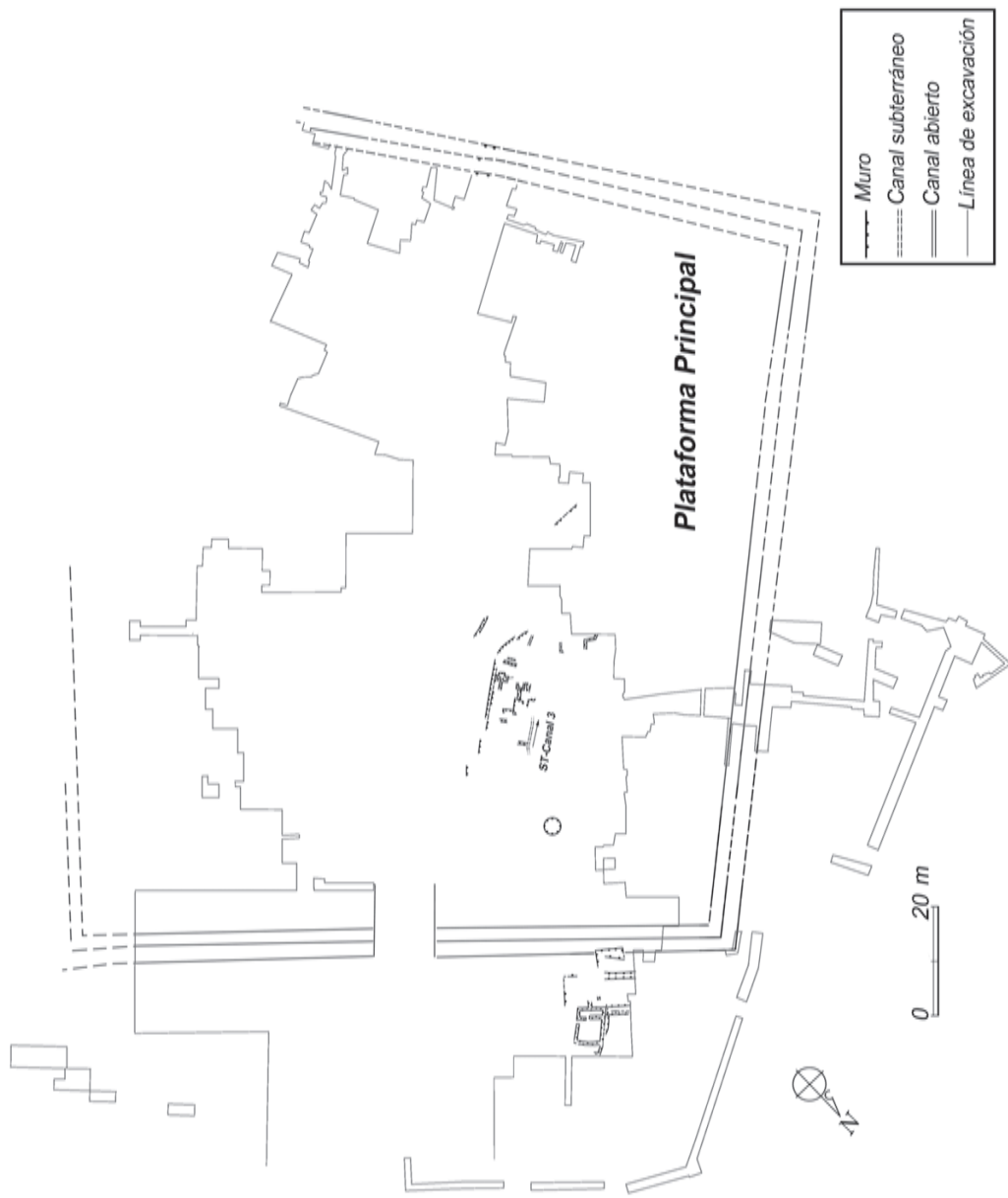


Fig. 20. Plano del conjunto arquitectónico de la subfase ST-2 (elaboración del gráfico: Kinya Inokuchi y Eisei Tsurumi).

	Fase	Subfase constructiva	Arquitectura de Kuntur Wasi
50 a.C.	Fase Sotera Formativo Final	ST-2 ST-1	- Abandono del centro ceremonial.
250	Fase Copa Formativo Tardío (Horizonte Temprano)	CP-1 CP-2 CP-1	- Abandono del Principio Constructivo Básico del Templo. - Ampliación y renovación de estructuras. - Mantenimiento del Principio Constructivo Básico del Templo. - Establecimiento de un nuevo conjunto arquitectónico.
550	Fase Kuntur Wasi Formativo Tardío (Horizonte Temprano)	KW-2 KW-1	- Ampliación y modificación parcial de estructuras. - Construcción de un nuevo conjunto arquitectónico y establecimiento del Principio Constructivo Básico del Templo. - Enterramiento de la arquitectura de la fase Ídolo.
800	Fase Ídolo Formativo Medio (Periodo Inicial)	ID-2 ID-1	- Modificación de estructuras. - Primera actividad constructiva del templo.
950 a.C			

Fig. 21. Cuadro cronológico del sitio de Kuntur Wasi y las nueve subfases constructivas (elaboración del cuadro: Kinya Inokuchi).

Principal y la parte noroeste de la Primera Terraza. Eso no significa que no se hubieran dado actividades ceremoniales en dicha fase. Se han encontrado algunos tiosos finos y tumbas con objetos asociados, pero lo cierto es que, a partir de esta fase, Kuntur Wasi dejó de funcionar como centro ceremonial.

5. Conclusiones

La secuencia arquitectónica y la cronología de Kuntur Wasi se basan en los datos obtenidos a lo largo de investigaciones intensivas, por lo que estos resultados son muy importantes y confiables como puntos de referencia (Burger y Salazar-Burger 2008: 95), y permiten tratar el proceso social del Periodo Formativo en los Andes centrales dentro de un contexto más amplio.

El análisis detallado de la secuencia del conjunto arquitectónico ofrece otro aspecto de la cronología que muestra el proceso de Kuntur Wasi. Se puede resumir brevemente la secuencia del conjunto arquitectónico del complejo de acuerdo con la cronología general del Periodo Formativo (Fig. 21). En la fase Ídolo, que pertenece a la parte tardía del Periodo Formativo Medio o al término del Periodo Inicial, se iniciaron las actividades de construcción del templo en Kuntur Wasi. En la fase Kuntur Wasi, atribuida al Periodo Formativo Tardío u Horizonte Temprano, las estructuras de la fase Ídolo se cubrieron en su integridad y se construyó un nuevo conjunto arquitectónico a gran escala como centro ceremonial. Se instauró lo que se ha denominado aquí como Principio Constructivo Básico del Templo, compuesto de tres elementos: la construcción de la Plataforma Principal, de un Conjunto Arquitectónico Central del Templo y el establecimiento de un sistema de canales. Esta fue la innovación más significativa ocurrida en el sitio, si bien los entierros de tumbas especiales y la colocación de monolitos de piedra en las edificaciones también fueron eventos muy importantes asociados con la erección de un nuevo conjunto arquitectónico en el centro ceremonial.

En la fase Copa, en la parte tardía del Periodo Formativo Tardío, aunque las actividades constructivas todavía eran muy intensas, se mantuvo el mismo principio hasta la subfase CP-2. Sin embargo, en la parte suroeste de la Plataforma Principal se construyó otro conjunto arquitectónico cuya orientación de muros

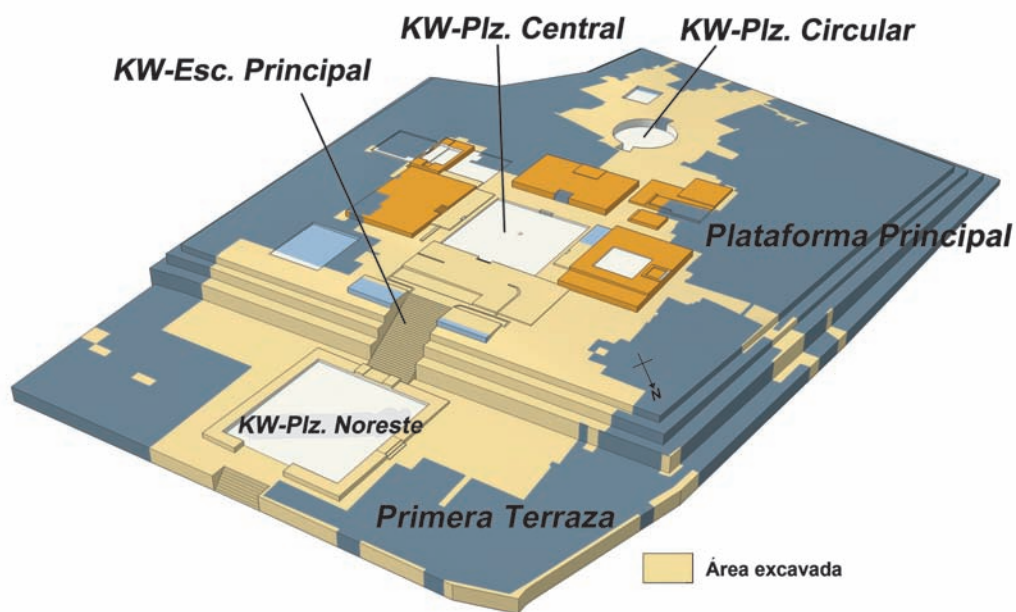


Fig. 22. Reconstrucción del conjunto arquitectónico de la subfase KW-1 (elaboración del gráfico: Kinya Inokuchi y Yuko Ito).

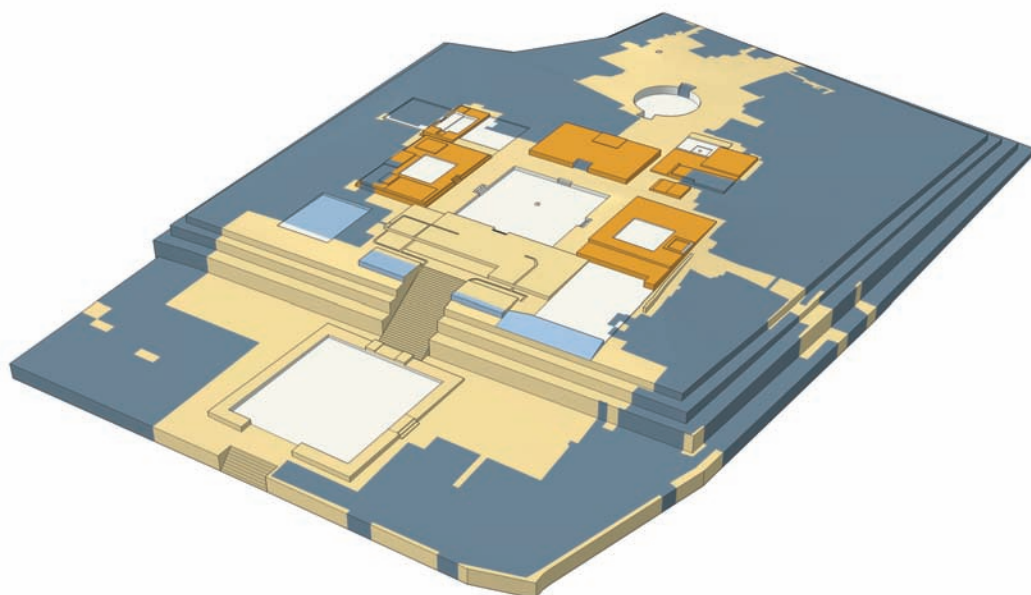


Fig. 23. Reconstrucción del conjunto arquitectónico de la subfase KW-2 (elaboración del gráfico: Kinya Inokuchi y Yuko Ito).

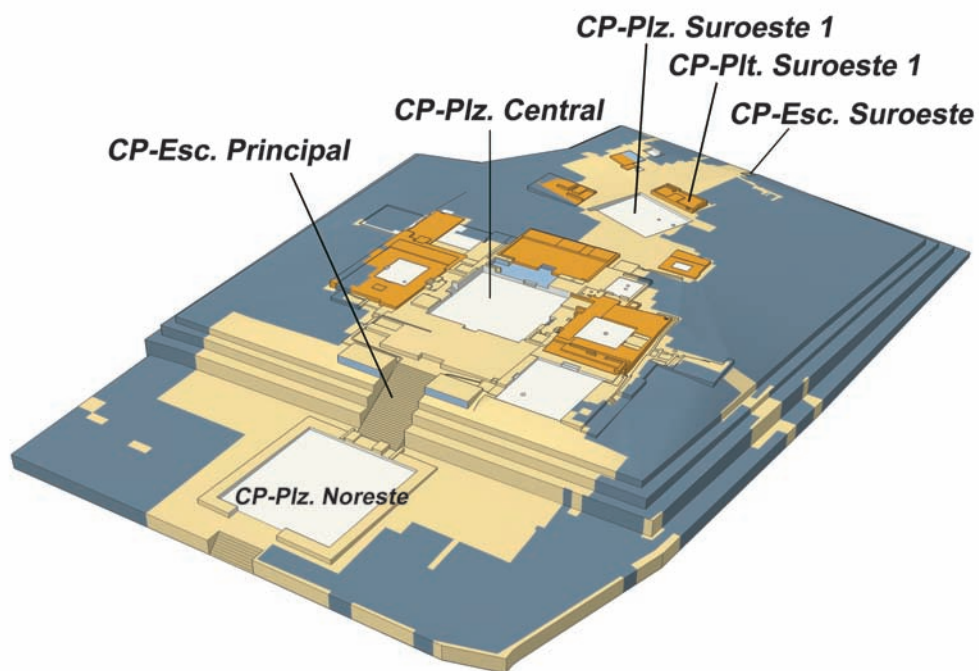


Fig. 24. Reconstrucción del conjunto arquitectónico de la subfase CP-1 (elaboración del gráfico: Kinya Inokuchi y Yuko Ito).

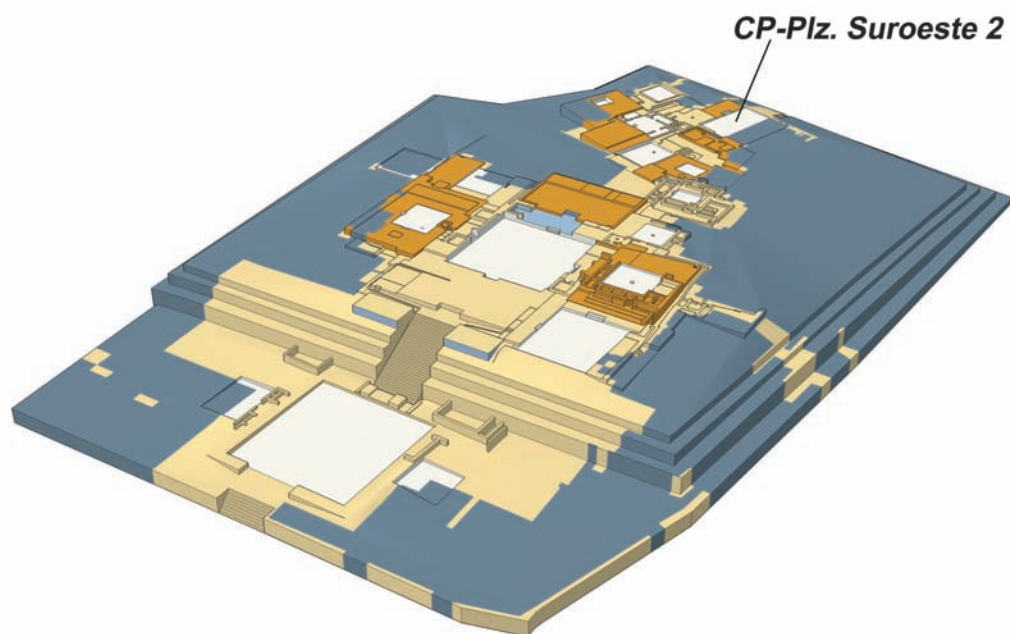


Fig. 25. Reconstrucción del conjunto arquitectónico de la subfase CP-2 (elaboración del gráfico: Kinya Inokuchi y Yuko Ito).

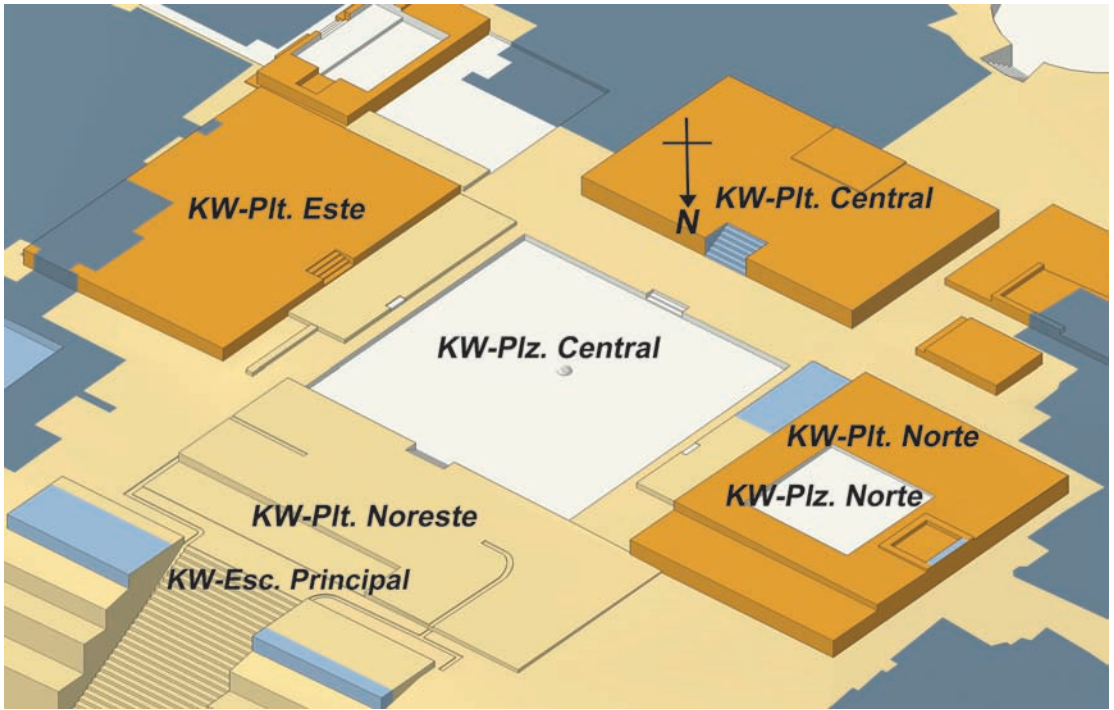


Fig. 26. Conjunto Arquitectónico Central del Templo de la subfase KW-1 (vista desde el norte) (elaboración del gráfico: Kinya Inokuchi y Yūko Ito).

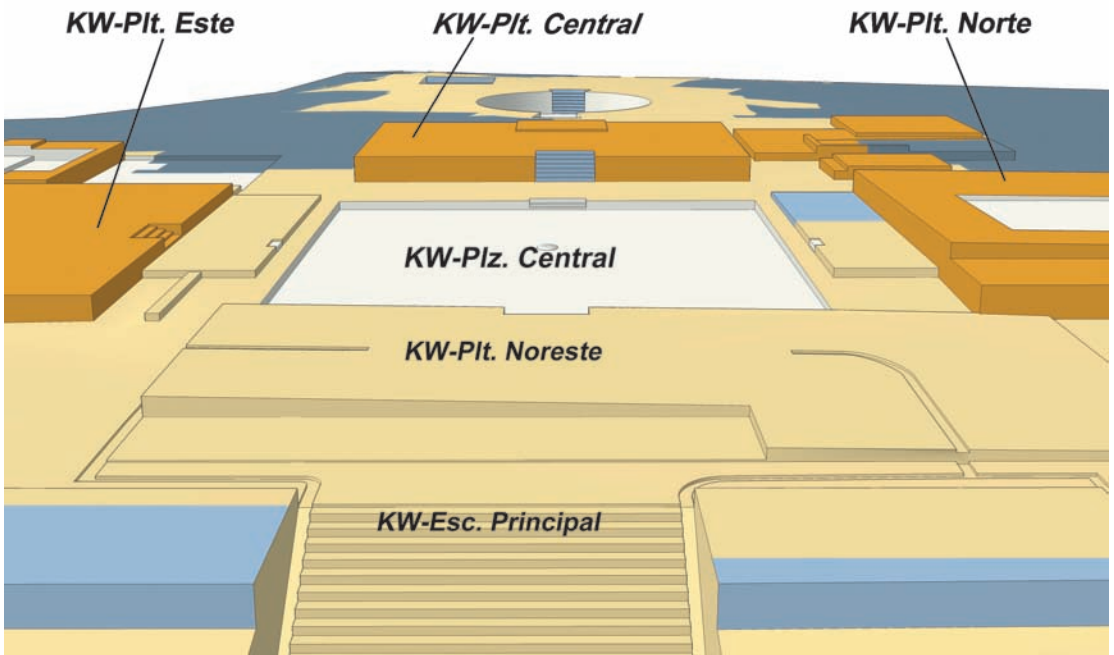


Fig. 27. Conjunto Arquitectónico Central del Templo de la subfase KW-1 (vista desde el noreste) (elaboración del gráfico: Kinya Inokuchi y Yūko Ito).

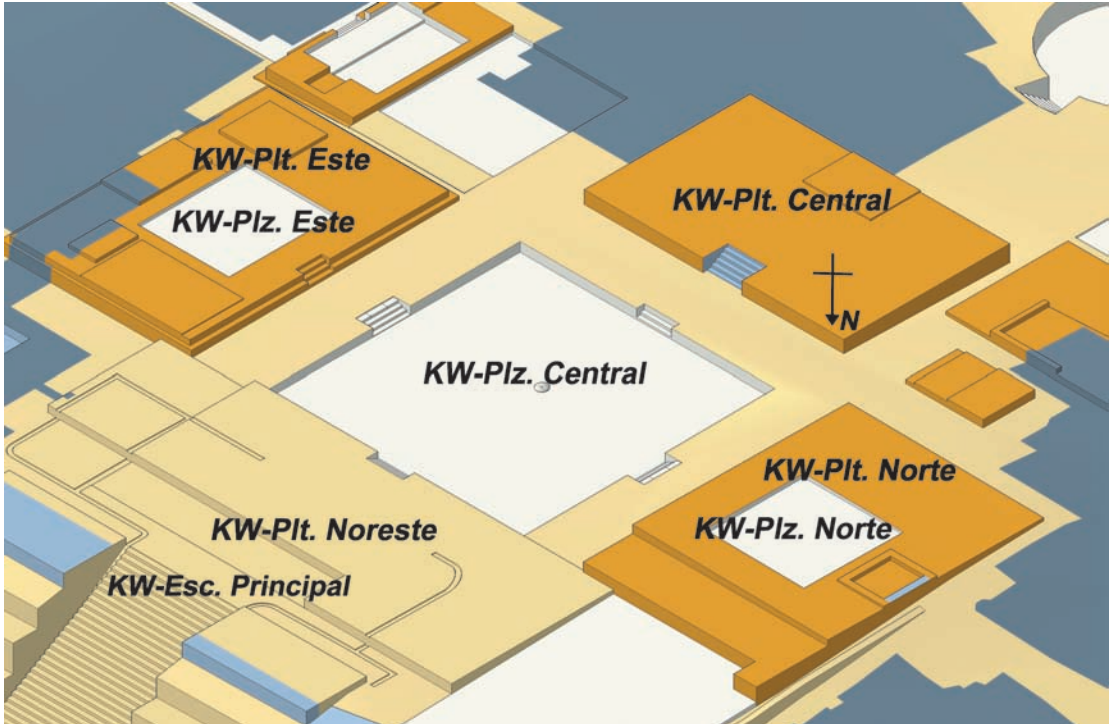


Fig. 28. Conjunto Arquitectónico Central del Templo en la subfase KW-2 (elaboración del gráfico: Kinya Inokuchi y Yuko Ito).

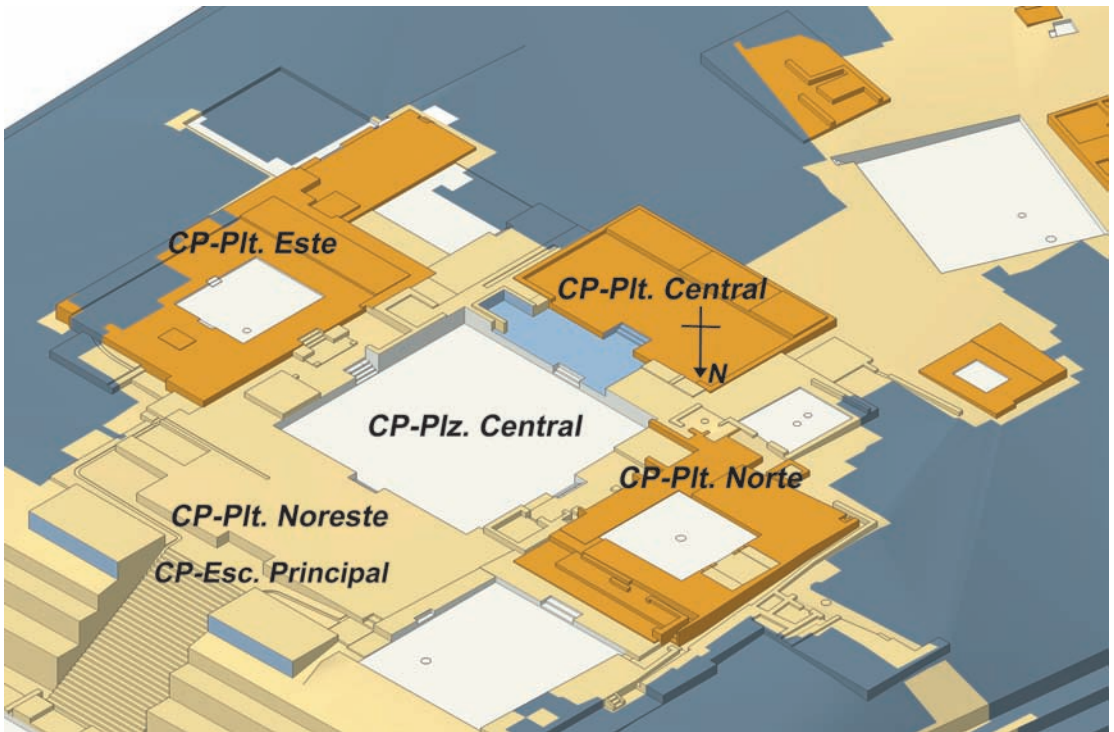


Fig. 29. Conjunto Arquitectónico Central del Templo en la subfase CP-1 (elaboración del gráfico: Kinya Inokuchi y Yuko Ito).

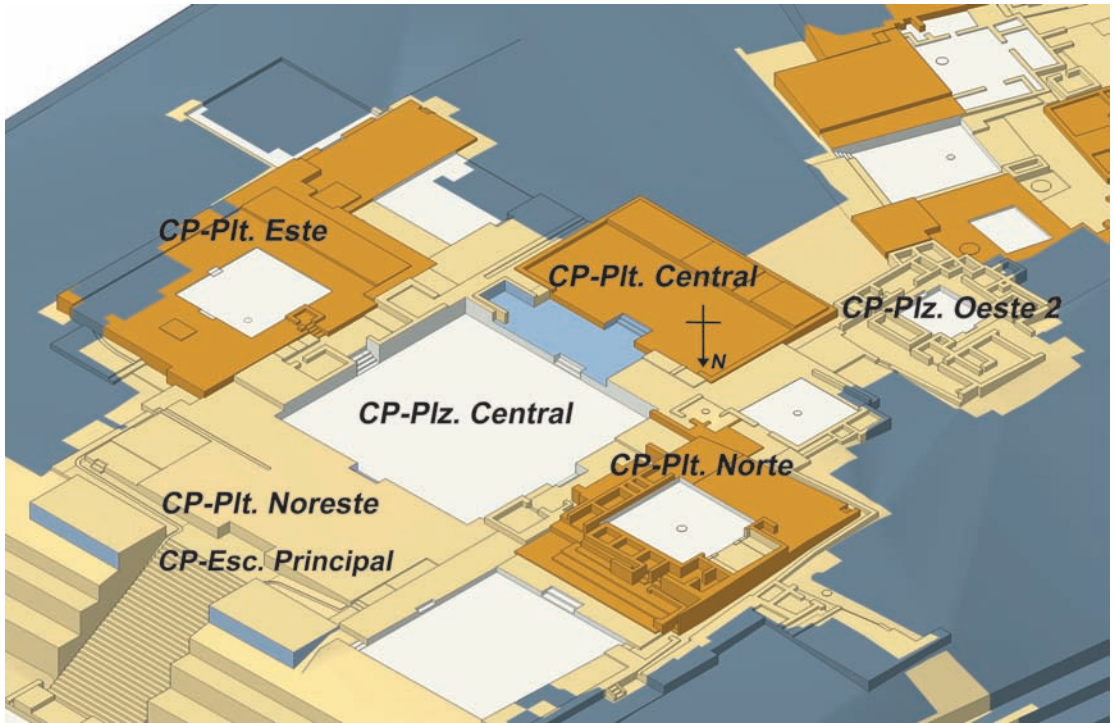


Fig. 30. Conjunto Arquitectónico Central del Templo en la subfase CP-2 (elaboración del gráfico: Kinya Inokuchi y Yuko Ito).

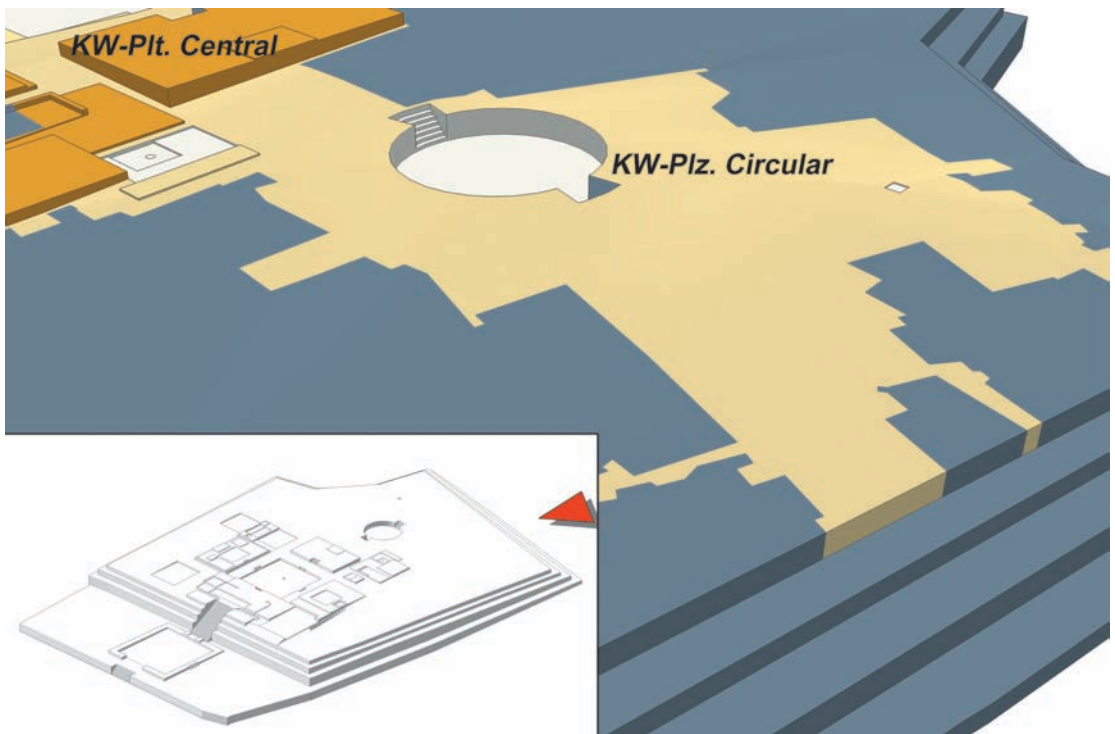


Fig. 31. Conjunto arquitectónico en la parte suroeste de la subfase KW-2 (elaboración del gráfico: Kinya Inokuchi y Yuko Ito).

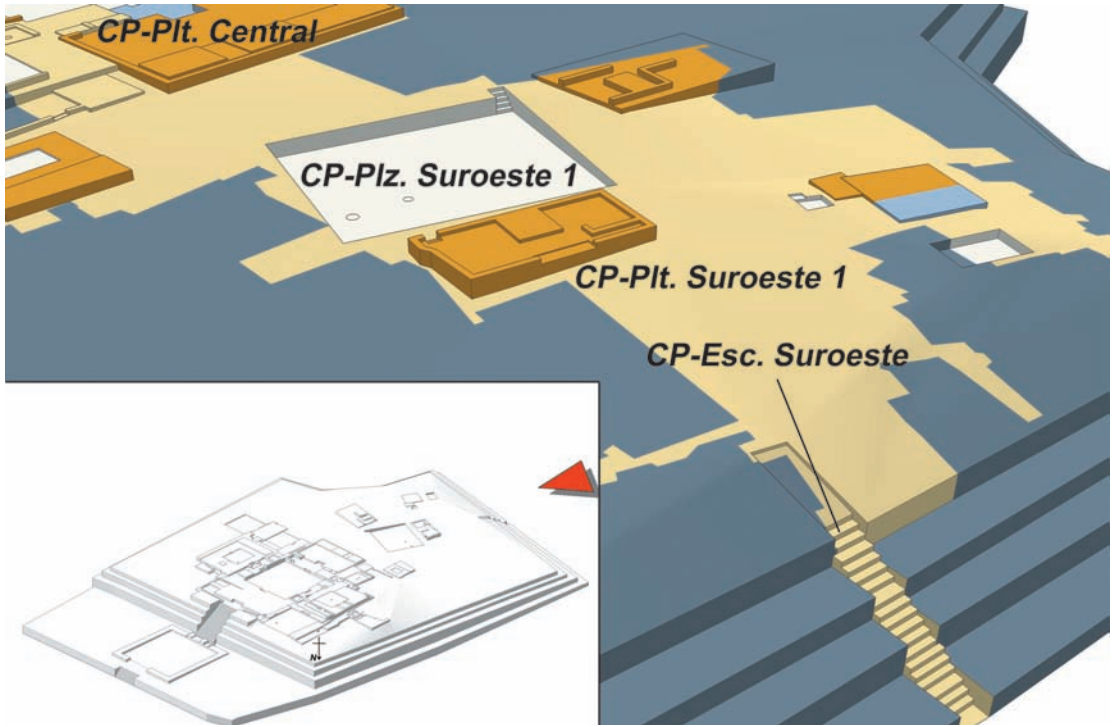


Fig. 32. Conjunto arquitectónico en la parte suroeste de la subfase CP-1 (elaboración del gráfico: Kinya Inokuchi y Yuko Ito).

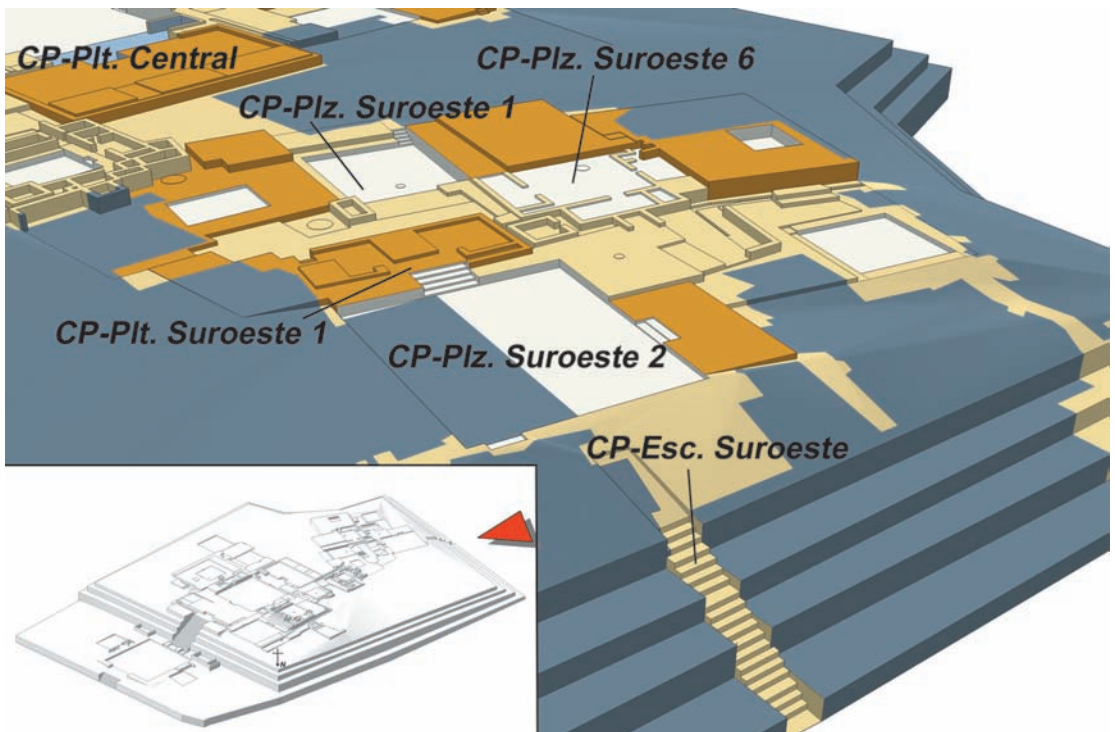


Fig. 33. Conjunto arquitectónico en la parte suroeste de la subfase CP-2 (Elaboración del gráfico: Kinya Inokuchi y Yuko Ito).

difería respecto de la anterior, y al mismo tiempo, se creó un nuevo acceso en el lado suroeste del muro de contención de la Plataforma Principal. Durante la subfase CP-3, la última subfase constructiva de la fase Copa, se abandonó el Principio Constructivo Básico del Templo. La KW/CP-Plaza Central y la KW/CP-Plaza Noreste, dos plazas importantes del centro ceremonial, fueron cubiertas y la mayoría de los canales dejaron de funcionar. Por último, en la fase Sotera, correspondiente al Periodo Formativo Final, el centro ceremonial ya no era vigente.

El presente estudio muestra un caso muy importante del Periodo Formativo, particularmente del Formativo Tardío, al que corresponden las fases Kuntur Wasi y Copa. Se puede observar un proceso común en la sierra norte del Perú en los periodos Formativo Medio y Tardío y que involucra sitios arqueológicos como Kuntur Wasi, Huacaloma, Pacopampa y Chavín de Huántar: el establecimiento de un centro ceremonial con una actividad muy intensa y su transformación, lo que incluyó aspectos de continuidad, ruptura y abandono final. Se puede considerar que estos son fenómenos clave para esclarecer el proceso social del Periodo Formativo en general. En el caso de Kuntur Wasi, se puede observar, en detalle, la complejidad de la secuencia de continuidad y cambio en el Formativo Tardío.

Sobre la base de los datos de la cerámica se establecieron dos fases dentro del Periodo Formativo Tardío: la fase Kuntur Wasi y la fase Copa. Además, de acuerdo con el análisis de la arquitectura, se puede definir una línea de continuidad muy significativa del Principio Constructivo Básico del Templo que se extiende desde la subfase KW-1 hasta la CP-2, con una interrupción o corte del centro ceremonial al final de la fase Copa, es decir, la subfase CP-3, durante el Periodo Formativo Tardío. Sin embargo, en los centros ceremoniales del Periodo Formativo se puede advertir procesos aún más diversos de transformación material tanto en la arquitectura, la cerámica y otros objetos, así como en el sistema social, el sistema de poder, la estratificación social y los intercambios entre los sitios. Por lo tanto, para esclarecerlos, se debe profundizar la discusión por medio de la comparación cruzada de los distintos tipos de datos.

Agradecimientos

En las investigaciones del sitio de Kuntur Wasi han participado numerosos arqueólogos y estudiantes peruanos y japoneses, por lo que quisiera agradecer a todos ellos por su colaboración y esfuerzo. Agradecemos también al Instituto Nacional de Cultura, filiales de Lima y Cajamarca, por autorizar las excavaciones y por su constante apoyo.

Notas

¹ En primera estancia, el autor estableció 46 tipos de cerámica sobre la base de los datos obtenidos de la primera etapa de las excavaciones en Kuntur Wasi en tres años, desde 1988 hasta 1990: siete tipos de la fase Ídolo, 17 de la fase Kuntur Wasi, seis del complejo Sangal, 13 de la fase Copa y tres de la fase Sotera (Onuki, Kato e Inokuchi 1995: 23). Posteriormente, se analizaron y clasificaron los datos de la cerámica obtenidos en todas las temporadas, por lo que se cambió una parte de la tipología y, por último, se definieron 61 tipos en total (Inokuchi 2007).

² Según el análisis de la cerámica, la del complejo Sangal apareció en algún momento de la fase Kuntur Wasi; sin embargo, los otros tipos de cerámica de esta fase se encuentran durante la totalidad de su duración. El complejo Sangal no solo constituye una fase o subfase, sino un complejo cuyos elementos son distintivos. Por lo tanto, el comienzo de la subfase constructiva KW-2 no coincide con el momento en que aparece la cerámica del complejo Sangal.

³ Los modelos arquitectónicos tridimensionales de Kuntur Wasi se han realizado con el programa Sketch Up Pro de Google. No se trata de simples modelos especulativos, sino de reconstrucciones fieles a los datos obtenidos en las excavaciones y las interpretaciones arqueológicas. La ventaja del modelo tridimensional

es que es posible trasladar el punto de vista a cualquier ángulo (*cf.* Figs. 26, 27), alejando o acercando la perspectiva. En el presente artículo se presentan solo las figuras en dos dimensiones modificadas de los archivos originales de Sketch Up. En el aspecto técnico se contó con la colaboración de Yuko Ito, quien participó también en las excavaciones.

⁴ Yasutake Kato documentó la secuencia del conjunto arquitectónico de Kuntur Wasi según los datos de las excavaciones realizadas entre 1988, 1989 y 1990 (Kato 1994; Onuki, Kato e Inokuchi 1995). Los resultados que se presentan en este artículo se basan en datos obtenidos en todas las temporadas de investigación. Al mismo tiempo, se ha cambiado el sistema de denominación de las estructuras. Las que tienen un nombre distinto en esta contribución son las siguientes:

(Kato 1994; Onuki, Kato e Inokuchi 1995)

ID-Plataforma Secundaria
 KW-Escalera Delantera
 KW-Plaza Delantera
 KW(CP)-Plaza Cuadrangular
 KW(CP)-Plaza Sudeste 1
 KW-Plz. Sudeste 2
 KW(CP)-Plaza Sudeste 3
 CP-Plataforma Introductoria

(el presente artículo)

ID-Plataforma Noroeste
 KW-Escalera Noreste 2
 KW-Plaza Noreste
 KW(CP)-Plaza Central
 KW(CP)-Plaza Sureste 2
 KW-Plaza Sureste 3
 KW-Plaza Sureste 1
 CP-Plataforma Noreste

⁵ Como se presenta en el plano de las Figs. 6 y 12, en la KW-Plaza Circular se halló una escalera de forma semicircular en el lado noreste, pero no se encontró la escalera del lado opuesto —en el lado suroeste de la plaza—, posiblemente debido a la destrucción ocurrida durante la fase Copa. Sin embargo, si se consideran las características de la plaza circular hundida y se las comparas, en general, con otros sitios del Periodo Formativo, es posible asumir que la KW-Plaza Circular tuviera dos escaleras en ambos lados. Por lo tanto, en los modelos tridimensionales de las Figs. 22, 23 y 31 se ha añadido la otra escalera del lado suroeste.

⁶ En las excavaciones de 1996 se encontró una tumba de la fase Kuntur Wasi (G-TM 6) asociada con un objeto de oro en el sector de la parte sur de la Plataforma Principal (Onuki 1997: 96-97). Si se considera el contexto estratigráfico, se asume que dicha tumba pertenece a la parte tardía de la fase Kuntur Wasi.

⁷ A pesar de la fama alcanzada por los monolitos de piedra encontrados en 1946 (Carrión Cachot 1948), no se sabe lo suficiente como para determinar cuándo fueron utilizados en la secuencia del sitio. Durante las excavaciones fueron encontrados dos monolitos intactos en los últimos peldaños superiores de las escaleras del lado sureste y del lado noroeste de KW/CP-Plaza Central. Dichas escaleras fueron agregadas en la subfase KW-2, ya que, en la subfase KW-1, la plaza tenía solo dos escaleras (en el lado noreste y el lado suroeste). Según las investigaciones realizadas, es muy probable que los dos monolitos hallados en las excavaciones también fueran colocados en las gradas que se encuentran en los lados sureste y noroeste de la KW-Plaza Central en la subfase KW-1 (Fig. 6).

REFERENCIAS

Burger, R. L. y L. Salazar-Burger

- 2008 The Manchay Culture and the Coastal Inspiration for Highland Chavín Civilization, en: W. J. Conklin y J. Quilter (eds.), *Chavin: Art, Architecture, and Culture*, 85-105, Monograph 61, Cotsen Institute of Archaeology Press, University of California at Los Angeles, Los Angeles.

Carrión Cachot, R.

- 1948 La cultura Chavín. Dos nuevas colonias: Kuntur Wasi y Ancón, *Revista del Museo Nacional de Antropología y Arqueología* 2 (1), 99-172, Lima.

Inokuchi, K.

- 1998 La cerámica de Kuntur Wasi y el problema Chavín, en: P. Kaulicke (ed.), *Perspectivas regionales del Periodo Formativo en el Perú*, *Boletín de Arqueología PUCP* 2, 161-180, Lima.
- 2007 La cerámica del sitio Kuntur Wasi, en: Y. Kato (ed.), *Proceso de formación de la civilización en los Andes centrales*, Informe de Grant-in-Aid for Scientific Research (S) en las temporadas 2002-2006 (en japonés), 59-90, Japan Society for the Promotion of Science, Tokyo.

Kato, Y.

- 1994 Resultados de las excavaciones en Kuntur Wasi, Cajamarca, en: L. Millones y Y. Onuki (eds.), *El mundo ceremonial andino*, *Senri Ethnological Studies* 37, 203-228, Osaka.

Onuki, Y.

- 1997 Ocho tumbas especiales de Kuntur Wasi, en: P. Kaulicke (ed.), *La muerte en el antiguo Perú: contextos y conceptos funerarios*, *Boletín de Arqueología PUCP* 1, 79-114, Lima.

Onuki, Y. (ed.)

- 1995 *Kuntur Wasi y Cerro Blanco: dos sitios del Formativo en el norte del Perú*, Hokusen-Sha, Tokyo.

Onuki, Y., Y. Kato y K. Inokuchi

- 1995 La primera parte: las excavaciones en Kuntur Wasi, la primera etapa, 1988-1990, en: Y. Onuki (ed.), *Kuntur Wasi y Cerro Blanco: dos sitios del Formativo en el norte del Perú*, 1-125, Hokusen-sha, Tokyo.

Tsurumi, E., K. Yoshida y Y. Yoneda

- 2007 La posición cronológica de Kuntur Wasi, en: Y. Kato (ed.), *Proceso de formación de civilización en los Andes centrales*, Informe de Grant-in-Aid for Scientific Research (S) en las temporadas 2002-2006 (en japonés), 49-58, Japan Society for the Promotion of Science.

Ulbert, C. y K. Eibl

- 1985 Vorbericht über die Untersuchungen der formativzeitlichen Anlage Kuntur Wasi am Oberlauf des Jequetepeque/ Informe preliminar sobre el sitio formativo de Kuntur Wasi en el curso superior del Jequetepeque, *Beiträge zur Allgemeinen und Vergleichenden Archäologie* 6, 559-572, Mainz am Rhein.